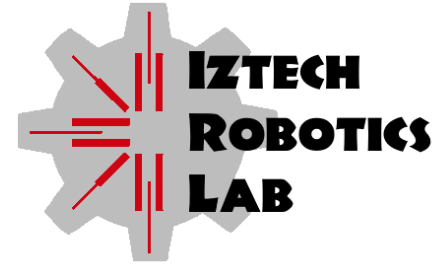


Endüstriyel Uygulamalarda Kullanılan Yüksek İvmeli Çalışan Paralel Robotların Konumlama Hassasiyetinin Artırılmasına Yönelik Yöntemler Çalıştayı -Direngenlik Modeli-

İzmir Yüksek Teknoloji Enstitüsü
Makine Mühendisliği Bölümü
Modelleme ve Prototipleme Laboratuvarı

İbrahim Görgülü



Bu çalışma 116M272 nolu proje kapsamında TÜBİTAK tarafından finanse edilmektedir.

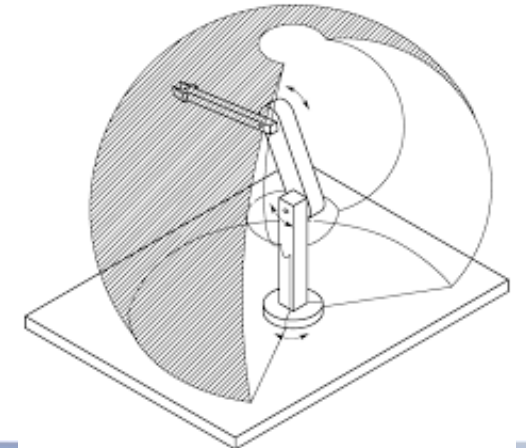
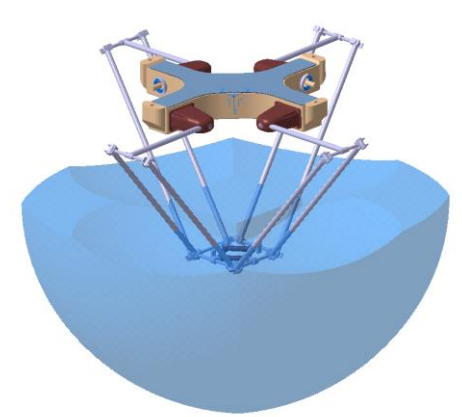
Endüstriyel Uygulamalarda Kullanılan Yüksek İvmeli Çalışan Paralel Robotların Konumlama Hassasiyetinin Artırılmasına Yönelik Yöntemler Çalıştayı, 20-21 Kasım 2019

Robot destekli/temelli üretim.

- Esnek üretime izin verirler.
- Boyutlarına oranla çok büyük çalışma alanları vardır.
- Hafiftirler. Yüksek hızda hareket edebilirler.
- Akıllıdırlar.
- Paralel, seri, ya da hibrit (paralel+seri) manipülatörler üzerine kurulabilirler.

Tek bir robot kol farklı ürünleri ve farklı işlemleri gerçekleştirebilir. Başka işler için programlanabilir.

Operatör olmadan karar verebilir, hataları düzeltebilirler.



Seri ve paralel robotlar.

- Seri robotlarda uzuvlar birbirlerinin uç kısımlarından bağlanır ve her uzuvda hareketi sağlayan motor bulunur.
- Paralel robotlarda motorlar şase üzerindedir ve her seri zincir hareketli platformda birbirlerine bağlanır.



	Seri Robotlar	Paralel robotlar	CNC
Çalışma uzayı	Yüksek	Orta	Kısıtlı
Üretim Esnekliği	Yüksek	Yüksek	Kısıtlı
Hassasiyet	Direngenlik, kütle, çalışma hızı vb. durumlara bağlı		Yüksek
Dinamik Performans (Atalet)	Orta	Yüksek	Düşük
Direngenlik	Orta	Yüksek	Yüksek
Montaj Hataları	Her bağlantıda artar.	Her bağlantıda azalır.	-

Uç eyleyici konumlandırılması.

- İleri kinematik + enkoder bilgisi kullanılır.
(Teorik olarak hesaplanır.)

Uç eyleyici konumunun doğru hesaplanamaması.

Geometrik Hatalar (Baskın):

- Uzun boyutu (Üretim hatası.)
- Montaj hataları (eksen kaçıklığı vb.)
- Mafsal hataları (Mafsal boşluğu.)

Geometrik Olmayan Hatalar:

- Esneme
- Çevresel faktörler (ısı genleşme vb.)
- Aşınma, sürtünme
- Kontrolcü hataları

Uç eyleyici konumu dışarıdan kamera sistemiyle bulunabilir ancak bu pahalı ve pratik olmayan bir çözümdür.

Kinematik modelin güncellenmesi, tasarımın iyileştirilmesi, üretim hassasiyetinin artırılması.

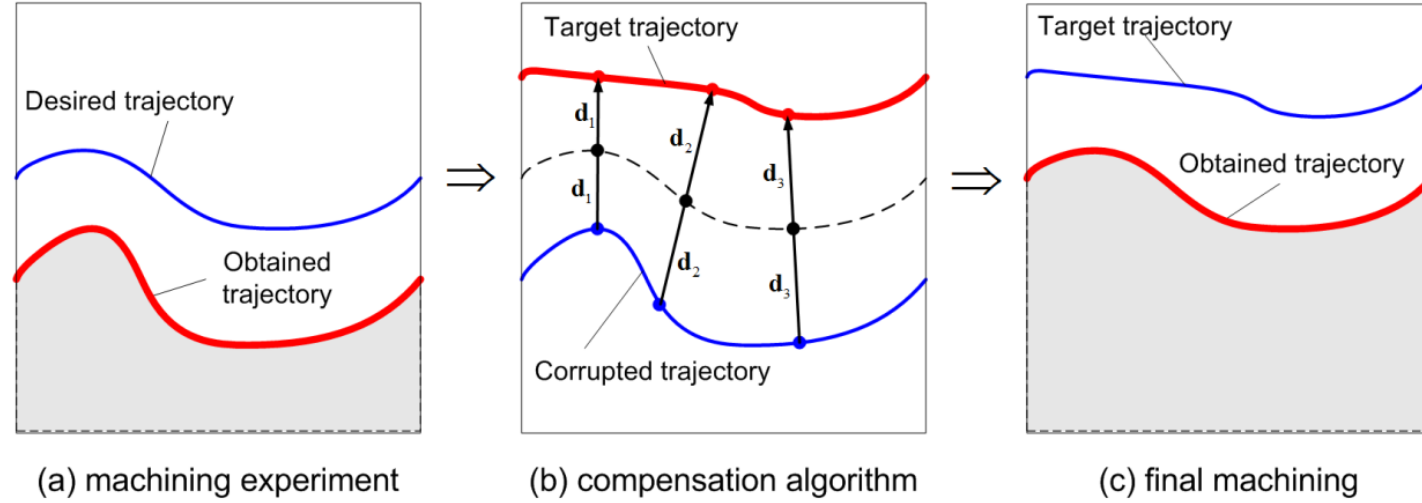
Normal çalışma şartlarında konumlama hassasiyetini en fazla etkileyen faktör.

Daha ucuz ve pratik çözüm doğru bir matematiksel model elde etmek.

Esneme modelinin kullanılması

Çevrim dışı
(takım yolu düzeltmesi)

$$F = K\Delta x$$



Çevrimiçi
Anlık Düzeltme

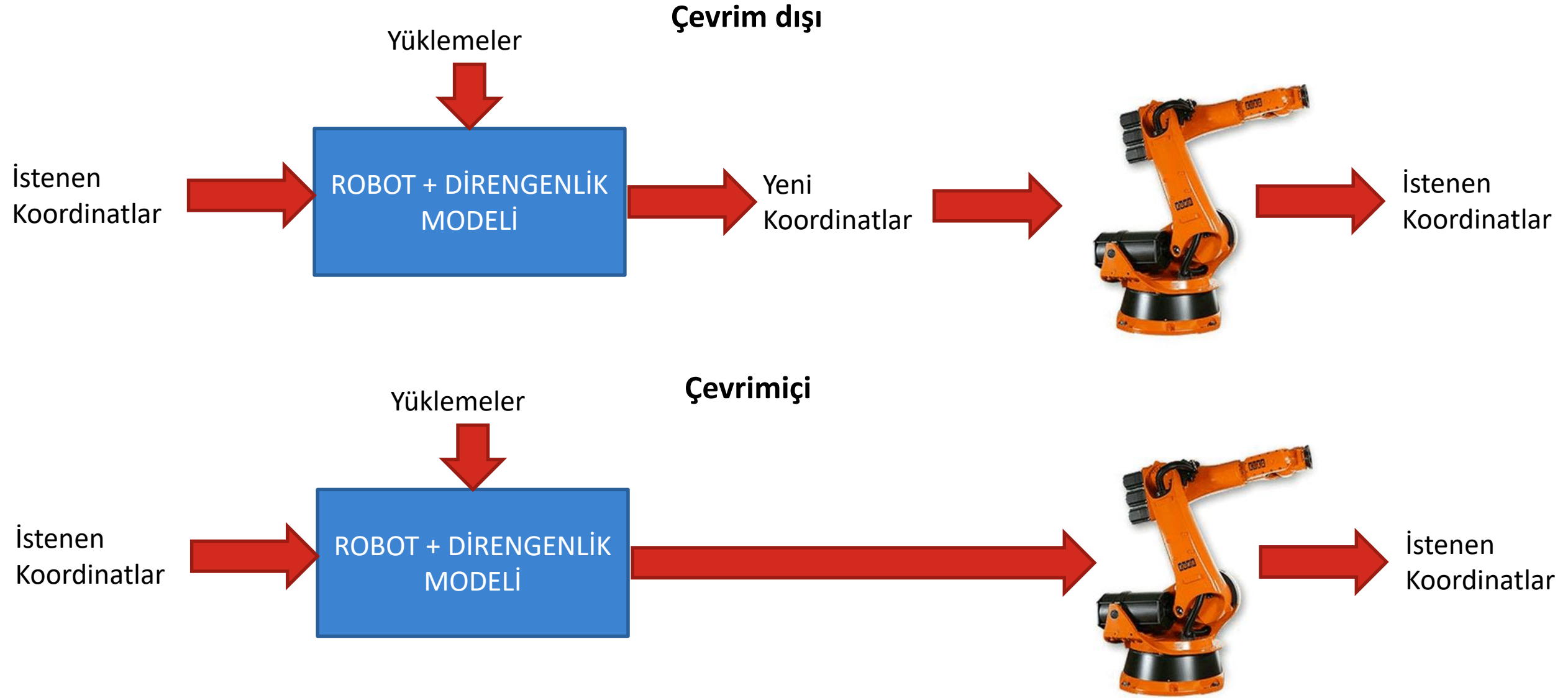


Yada kuvvetin
anlık
hesaplanması
/ölçülmesi



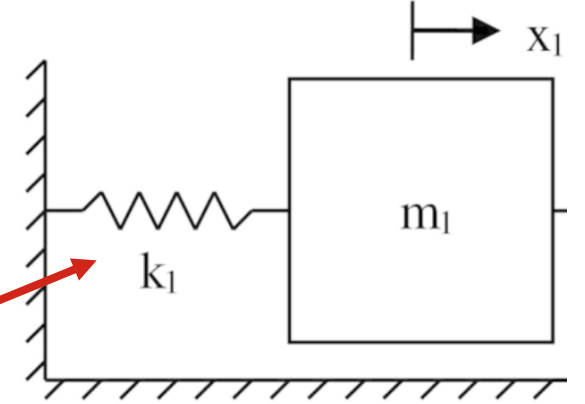
Esneme
miktarının
hesaplanıp
düzeltilmesi.

Esneme modelinin kullanılması



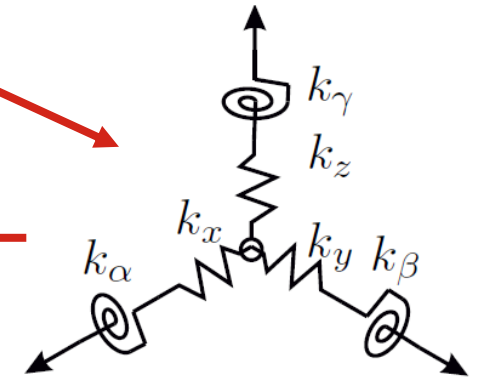
Esnek uzva gelen kuvvet. $\leftarrow F = K \Delta x \rightarrow$ Esneme miktarı.

Direngenlik modeli.

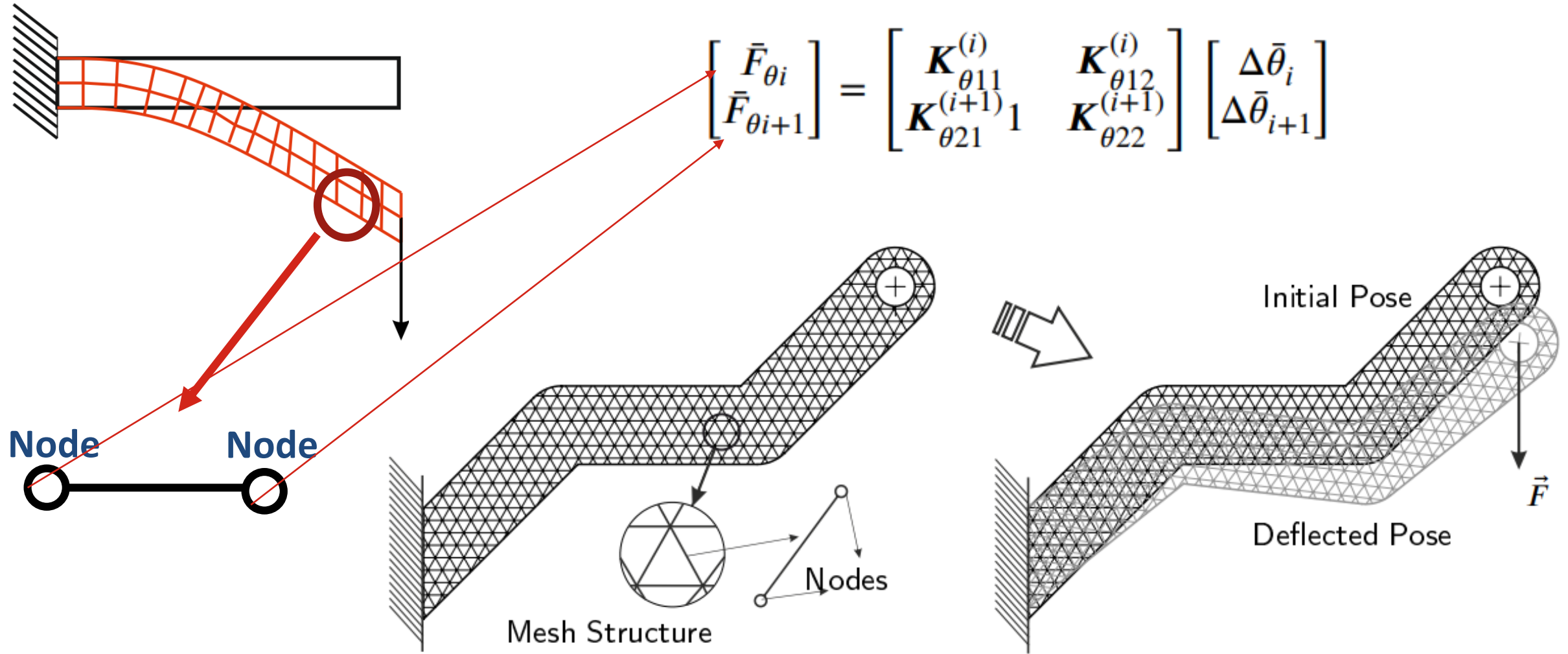


- İdeal bir yay ve bir serbestlik derecesi için K sabittir. (Lineer fonksiyon.)
- Ancak esneme 6 boyutlu uzayda her yönde gerçekleşebilir. (3 dönel+3 öteleme)

$$\mathbf{K} = \frac{E}{L^3} \cdot \begin{bmatrix} A \cdot L^2 & 0 & 0 & 0 & 0 & 0 \\ 0 & 12 \cdot I_z & 0 & 0 & 0 & -6 \cdot I_z \cdot L \\ 0 & 0 & 12 \cdot I_y & 0 & 6 \cdot I_y \cdot L & 0 \\ 0 & 0 & 0 & G \cdot J \cdot L^2 / E & 0 & 0 \\ 0 & 0 & 6 \cdot I_y \cdot L & 0 & 4 \cdot I_y \cdot L^2 & 0 \\ 0 & -6 \cdot I_z \cdot L & 0 & 0 & 0 & 4 \cdot I_z \cdot L^2 \end{bmatrix}$$

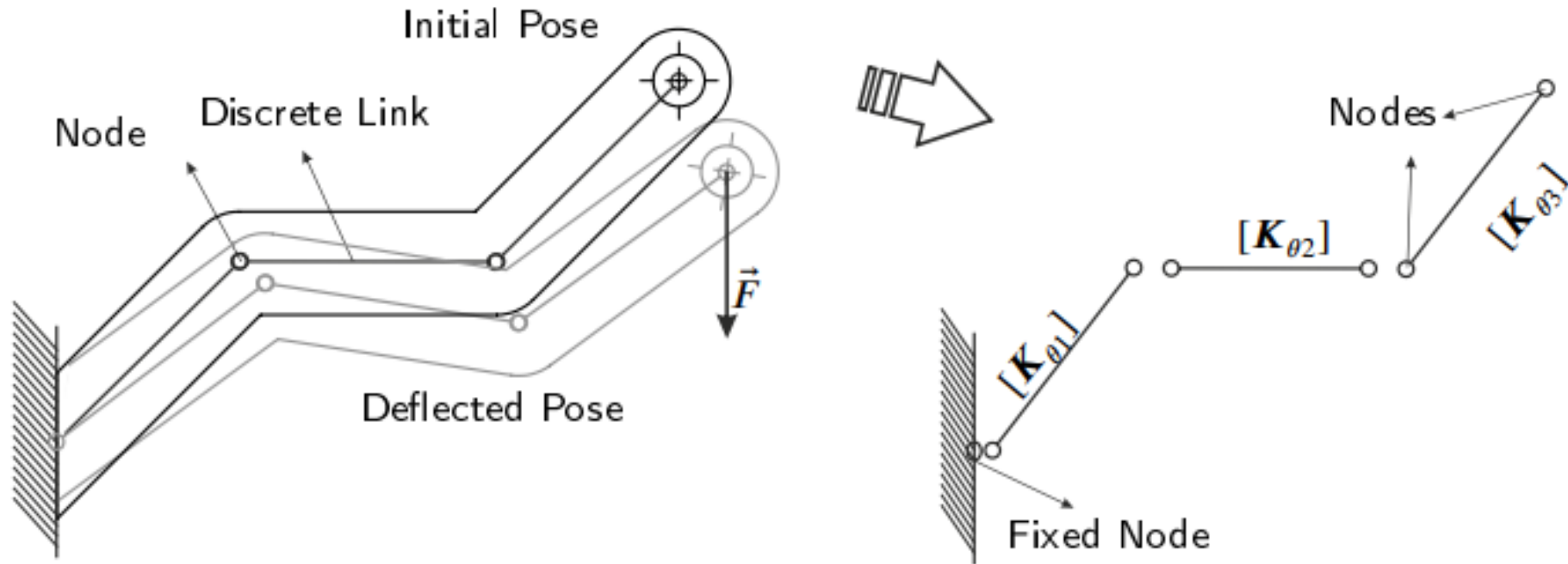


Sonlu Eleman Analizi (Finite Element Method-FEM)



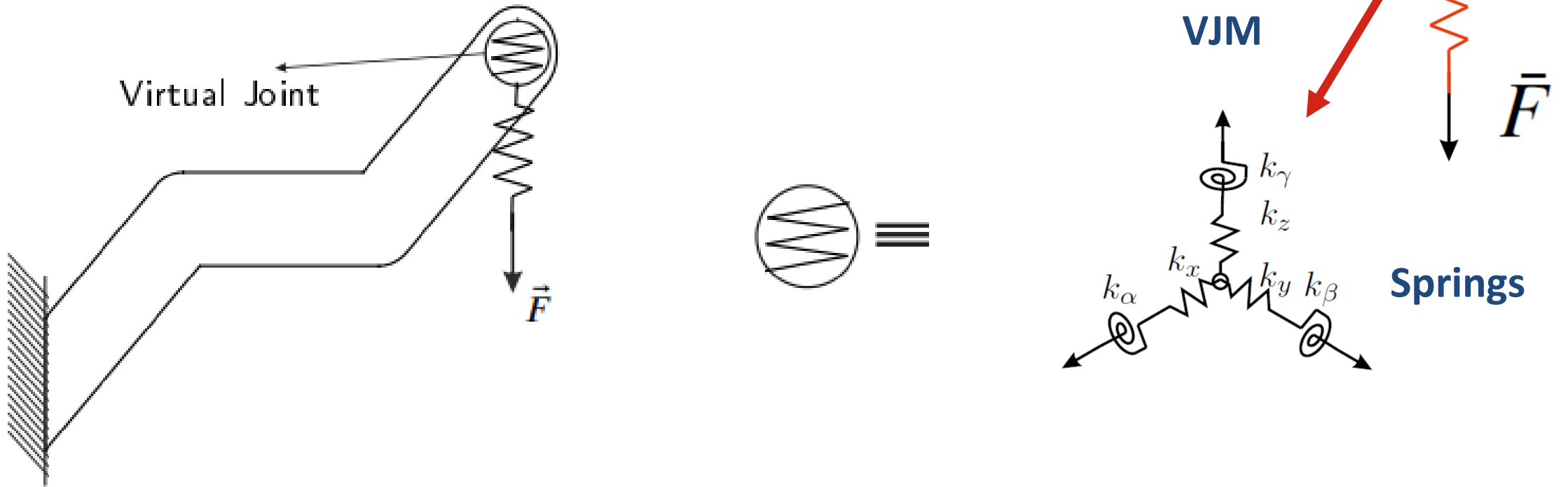
Yapısal Matris Analizi (Structural Matrix Method-SMM)

$$\begin{bmatrix} \bar{F}_{\theta i} \\ \bar{F}_{\theta i+1} \end{bmatrix} = \begin{bmatrix} \mathbf{K}_{\theta 11}^{(i)} & \mathbf{K}_{\theta 12}^{(i)} \\ \mathbf{K}_{\theta 21}^{(i+1)} & \mathbf{K}_{\theta 22}^{(i+1)} \end{bmatrix} \begin{bmatrix} \Delta \bar{\theta}_i \\ \Delta \bar{\theta}_{i+1} \end{bmatrix}$$



Sanal Mafsal Yöntemi (Virtual Joint Method-VJM)

$$F = K \Delta x$$



Gerilme Enerjisi Yöntemi (Strain Energy Method-SEM)

$$F = K \Delta x$$

$$C = K^{-1}$$

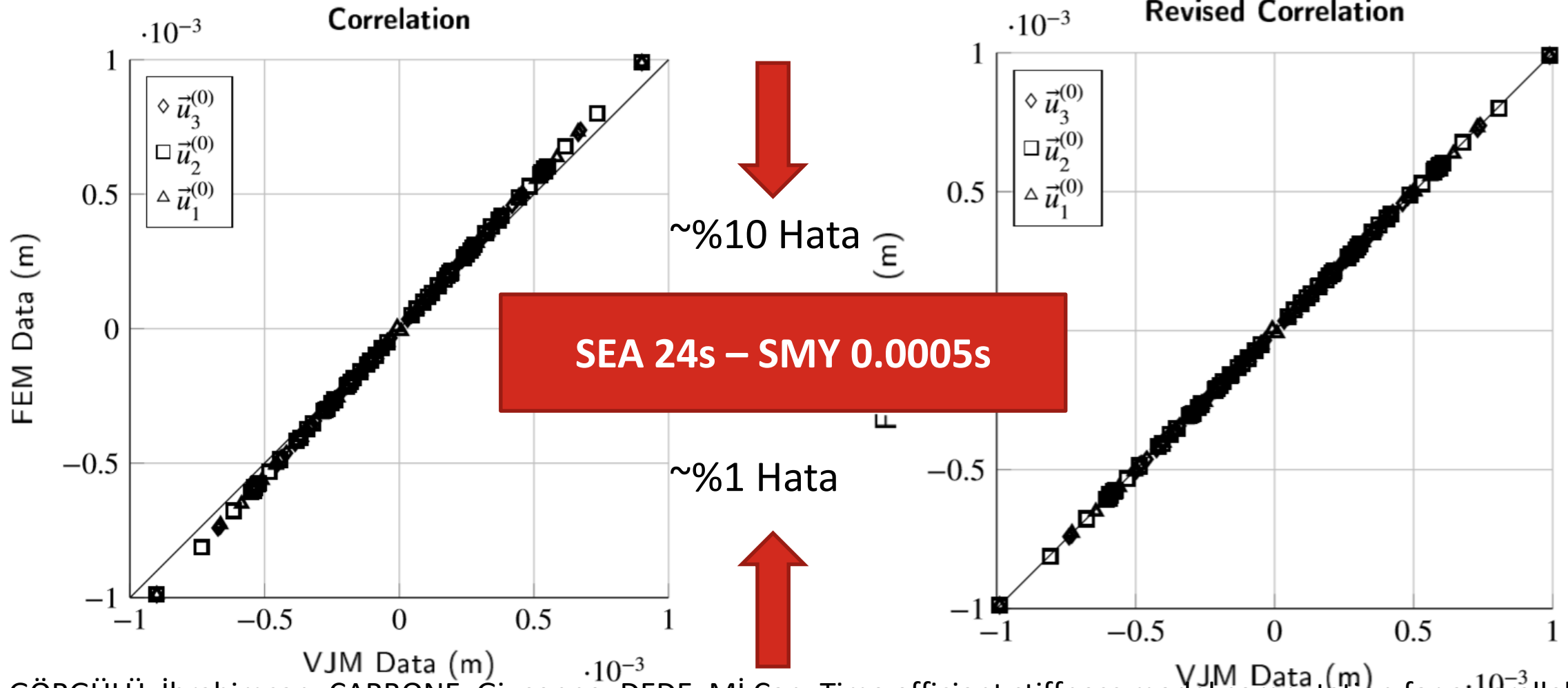
$$CF = \Delta x$$

$$U_C = \frac{1}{2} \Delta \bar{F}_{ext}^T C_C \Delta \bar{F}_{ext}, \quad C_C = \frac{\partial^2 U}{\partial \bar{F}_{ext}^2}$$

$$U_\theta = \frac{1}{2} \Delta \bar{F}_\theta^T C_\theta \Delta \bar{F}_\theta, \quad C_\theta = \frac{\partial^2 U_\theta}{\partial \bar{F}_\theta^2}$$

	SEA	YMA	SMY
Doğruluk	Yüksek	Orta	Düşük
Hesaplama Süresi	Uzun	Orta	Kısa

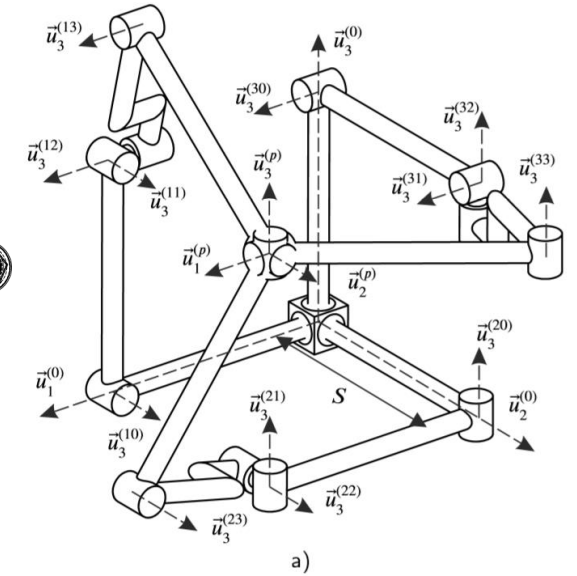
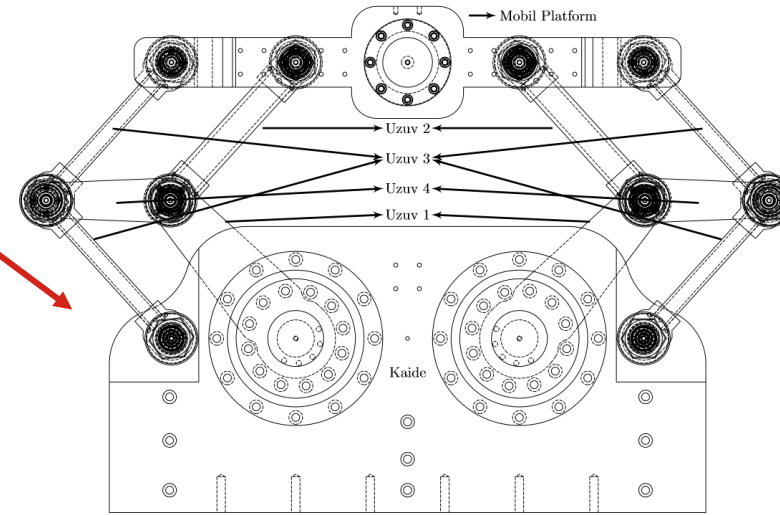
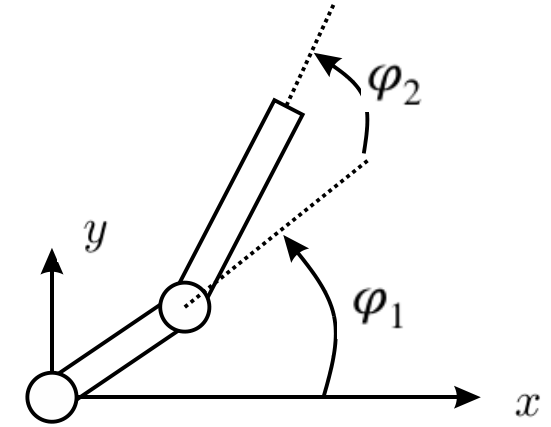
SMY ve SEA karşılaştırma



GÖRGÜLÜ, İbrahimcan; CARBONE, Giuseppe; DEDE, Mi Can. Time efficient stiffness model computation for a parallel haptic mechanism via the virtual joint method. *Mechanism and Machine Theory*, 2020, 143: 103614.

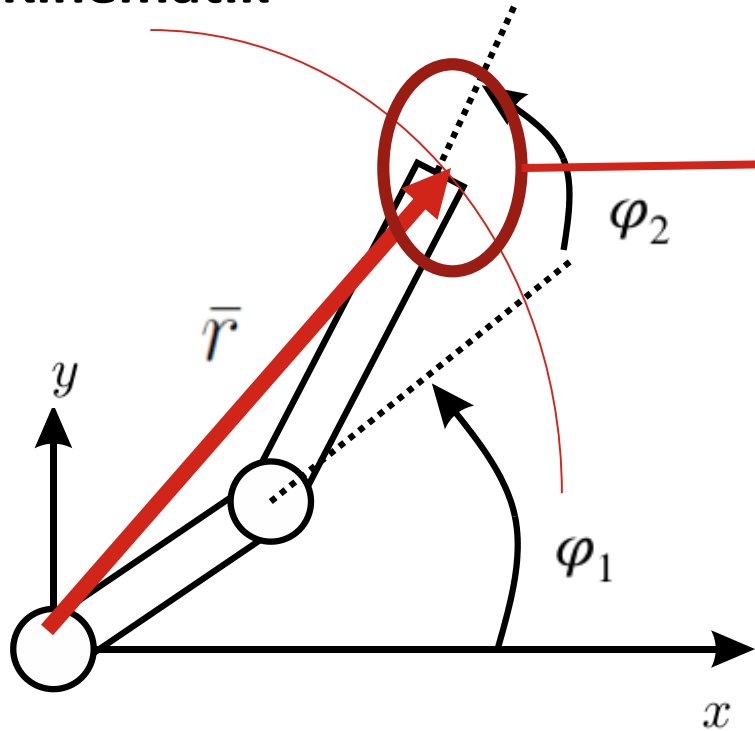
Direngenlik Modeli Oluřturma

- 2 serbestlik dereceli seri manipülatör. (Sadece aktif mafsallar.)
- 3 serbestlik dereceli paralel manipülatör. (Kısıtlanmıř kinematik. Aktif+ pasif mafsallar.)
- Paralel Lazer kesim makinesi manipülatörü. (Fazla Kısıtlanmıř kinematik. Aktif+pasif mafsallar)



Sanal Mafsal Yöntemi (Virtual Joint Method-VJM) ile modelleme

Kinematik



$$\bar{q} = [\varphi_1 \quad \varphi_2]_{2 \times 1}^T$$

$$x = l_1 \cos(q_1) + l_2 \cos(q_1 + q_2)$$

$$y = l_1 \sin(q_1) + l_2 \sin(q_1 + q_2)$$

$$\bar{r} = \bar{f}(\bar{q})$$

$$\frac{d\bar{r}}{dt} = \frac{\partial \bar{f}(\bar{q})}{\partial \bar{q}} \frac{d\bar{q}}{dt}$$

$$\dot{\bar{r}} = \hat{J} \dot{\bar{q}}$$

Hız katsayı matrisi= Jakobi Matrisi

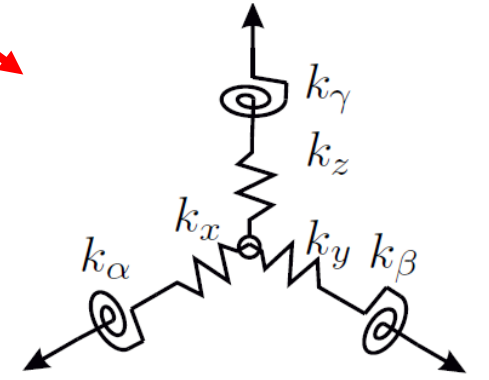
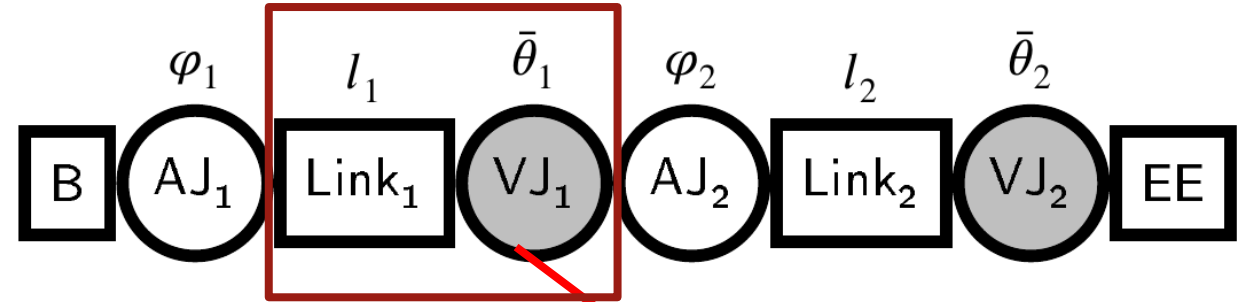
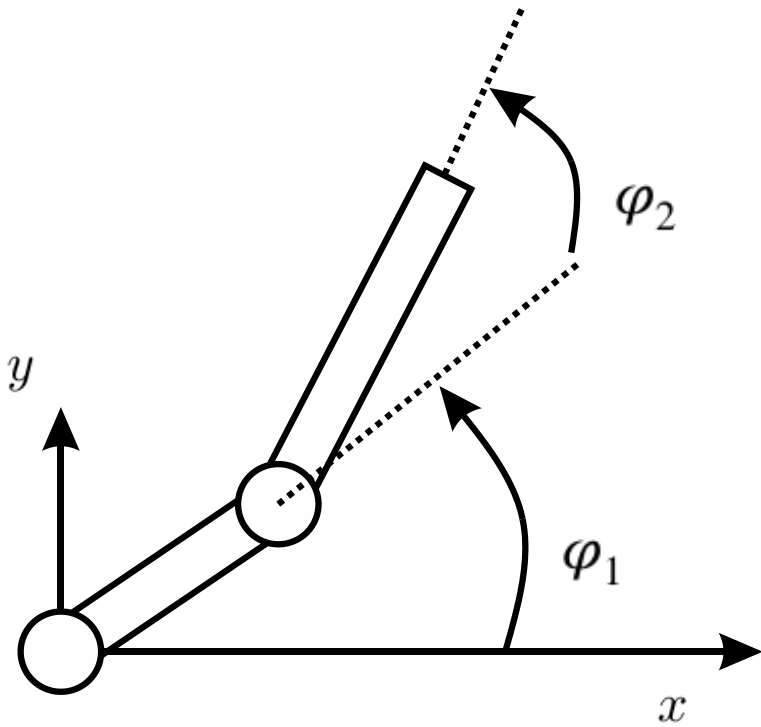
Uç eyleyici konum değişimi: $\dot{\bar{r}}$ 

$$\Delta \bar{r} = f(\Delta \bar{q})$$

Küçük yer değişimi için:

$$\Delta \bar{r} \approx J \Delta \bar{q}$$

SMY 2 serbestlik dereceli manipülatör



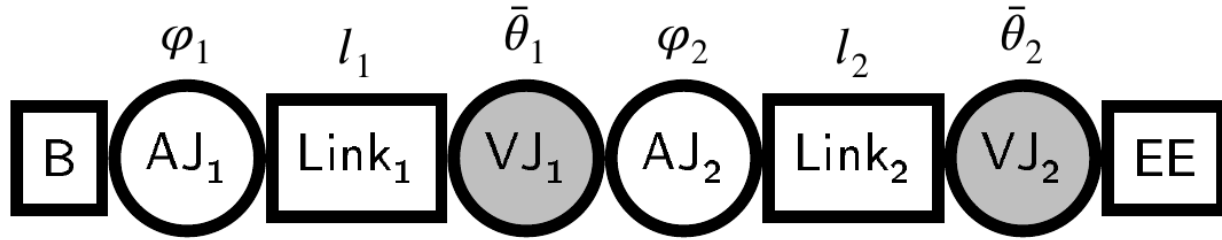
$$\bar{\theta}_i = [\theta_i^1 \quad \theta_i^2 \quad \theta_i^3 \quad \theta_i^4 \quad \theta_i^5 \quad \theta_i^6]^T$$

Öteleme

Dönme

$$H_v(\bar{\theta}) = T_1(\theta^1)T_2(\theta^2)T_3(\theta^3)R_1(\theta^4)R_2(\theta^5)R_3(\theta^6)$$

SMY 2 serbestlik dereceli manipülatör



$$H_v(\bar{\theta}) = T_1(\theta^1)T_2(\theta^2)T_3(\theta^3)R_1(\theta^4)R_2(\theta^5)R_3(\theta^6)$$

$$\bar{q} = [\varphi_1 \quad \varphi_2]_{2 \times 1}^T,$$

$$\bar{\theta} = [\bar{\theta}_1^T \quad \bar{\theta}_2^T]_{12 \times 1}^T$$

$$\bar{Q} = [\bar{\theta}^T \quad \bar{q}^T]_{14 \times 1}^T$$

Esname bilgisini içeren ileri kinematik modeli:

$$H_K = R_3(\varphi_1)T_1(l_1)H_v(\bar{\theta}_1)R_3(\varphi_2)T_1(l_2)H_v(\bar{\theta}_2)$$

$$H_K = \begin{bmatrix} \mathbf{R}_K & \bar{r}_K \\ \bar{0}^T & 1 \end{bmatrix}$$

$$\frac{\partial H_K}{\partial Q_k} = \begin{bmatrix} \frac{\partial \mathbf{R}_K}{\partial Q_k} & \frac{\partial \bar{r}_K}{\partial Q_k} \\ \bar{0}^T & 1 \end{bmatrix}$$

$$\bar{J}_{Kk} = [\bar{V}_k^T \quad \bar{\Omega}_k^T]^T$$

SMY 2 serbestlik dereceli manipülatör

Aktif mafsalların uç eyleyiciye etkisi:

$$\mathbf{J}_a = \begin{bmatrix} \bar{\mathbf{J}}_{K13} & \bar{\mathbf{J}}_{K14} \end{bmatrix}_{6 \times 2}$$

$$\Delta \bar{\mathbf{X}} = \mathbf{J}_K \Delta \bar{\mathbf{Q}}$$

$$\Delta \bar{\mathbf{X}} = \mathbf{J}_\theta \Delta \bar{\boldsymbol{\theta}} + \bar{\mathbf{J}}_a \Delta q$$

Sanal mafsalların uç eyleyiciye etkisi:

$$\mathbf{J}_\theta = \begin{bmatrix} \bar{\mathbf{J}}_{K1} & \bar{\mathbf{J}}_{K2} & \dots & \bar{\mathbf{J}}_{Ki12} \end{bmatrix}_{6 \times 12}$$

Mafsallardaki kuvvet ve torklar (momentler).

$$\bar{\mathbf{F}}_K = \begin{bmatrix} \bar{\mathbf{F}}_\theta^T & \bar{\mathbf{F}}_a^T \end{bmatrix}^T \begin{bmatrix} \bar{\mathbf{F}}_\theta \end{bmatrix}_{12 \times 1}, \begin{bmatrix} \bar{\mathbf{F}}_a \end{bmatrix}_{2 \times 1}$$

Toplam etki:

$$\mathbf{J}_K = \begin{bmatrix} \mathbf{J}_\theta & \mathbf{J}_a \end{bmatrix}_{6 \times 14}$$

Uç eyleyiciye gelen kuvvetlerin mafsallara dağıtılması:

$$\bar{\mathbf{F}}_K = \mathbf{J}_K^T \bar{\mathbf{F}}_{ext}$$

$$\bar{\mathbf{F}}_K = \begin{bmatrix} \bar{\mathbf{F}}_\theta^T & \bar{\mathbf{F}}_a^T \end{bmatrix}^T = \begin{bmatrix} \mathbf{J}_\theta & \mathbf{0} \end{bmatrix}^T \bar{\mathbf{F}}_{ext} + \begin{bmatrix} \mathbf{0} & \mathbf{J}_a \end{bmatrix}^T \bar{\mathbf{F}}_{ext}$$

SMY 2 serbestlik dereceli manipülatör

Esneme ve kuvvet ilişkisi (çalışma uzayında):

$$\bar{F}_{ext} = K_C \Delta \bar{X}$$

Uç eyleyici esneme miktarı. -Aranan-

Manipülatöre gelen kuvvet.
-Bilinmiyor-

Çalışma uzayında tanımlı direngenlik modeli.
-Bilinmiyor-

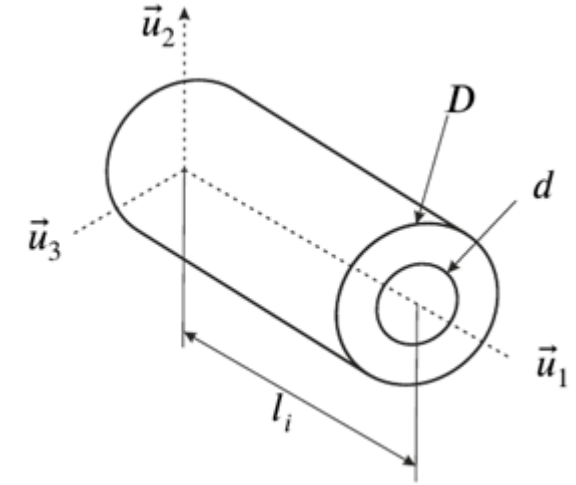
Esneme ve kuvvet ilişkisi (mafsal uzayında):

$$\bar{F}_K = K_\theta \Delta \bar{\theta}$$

Mafsal esneme miktarı.
-Aranan-

Mafsallara gelen kuvvet.
-Bilinmiyor-

Mafsal uzayında tanımlı direngenlik modeli.
-Bilinmiyor-

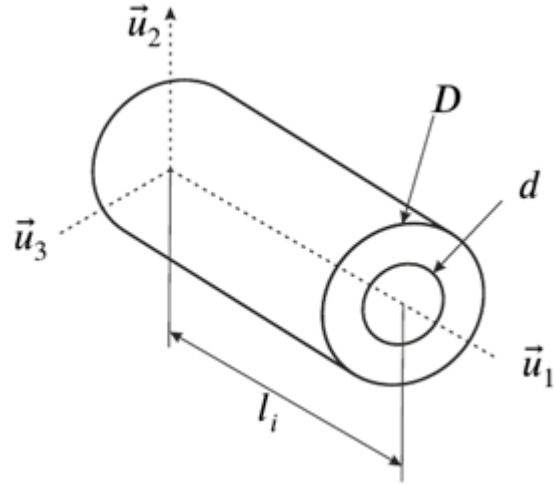


$$K = \frac{E}{L^3} \cdot \begin{bmatrix} A \cdot L^2 & 0 & 0 & 0 & 0 & 0 \\ 0 & 12 \cdot I_z & 0 & 0 & 0 & -6 \cdot I_z \cdot L \\ 0 & 0 & 12 \cdot I_y & 0 & 6 \cdot I_y \cdot L & 0 \\ 0 & 0 & 0 & G \cdot J \cdot L^2 / E & 0 & 0 \\ 0 & 0 & 6 \cdot I_y \cdot L & 0 & 4 \cdot I_y \cdot L^2 & 0 \\ 0 & -6 \cdot I_z \cdot L & 0 & 0 & 0 & 4 \cdot I_z \cdot L^2 \end{bmatrix}$$

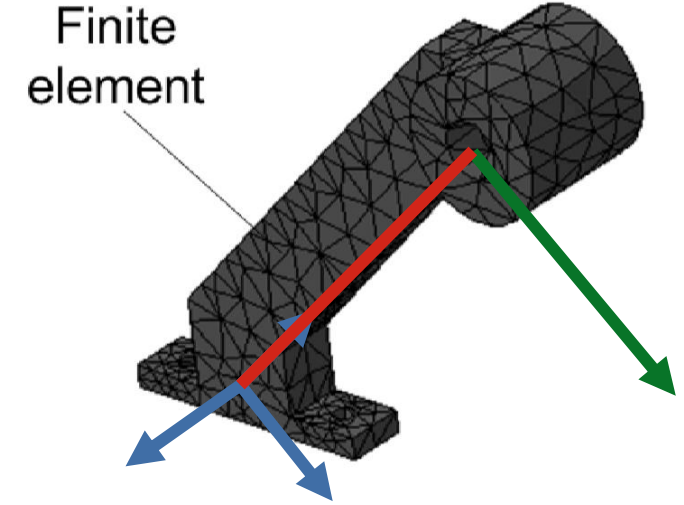
SMY 2 serbestlik dereceli manipülatör

Mafsal uzayında direngenlik matrisini belirleme: K_{θ}

1. Basit uzuvlar için analitik olarak:



2. Sonlu eleman yöntemi ile:



3. Deneysel:

- CMM
- Lazer mesafe sensörü
- Komparatör

$$\frac{E}{L^3} \cdot \begin{bmatrix} A \cdot L^2 & 0 & 0 & 0 & 0 & 0 \\ 0 & 12 \cdot I_z & 0 & 0 & 0 & -6 \cdot I_z \cdot L \\ 0 & 0 & 12 \cdot I_y & 0 & 6 \cdot I_y \cdot L & 0 \\ 0 & 0 & 0 & G \cdot J \cdot L^2 / E & 0 & 0 \\ 0 & 0 & 6 \cdot I_y \cdot L & 0 & 4 \cdot I_y \cdot L^2 & 0 \\ 0 & -6 \cdot I_z \cdot L & 0 & 0 & 0 & 4 \cdot I_z \cdot L^2 \end{bmatrix}$$

SMY 2 serbestlik dereceli manipülatör

Esname ve kuvvet ilişkisi (mafsal uzayında):

$$\mathbf{J}_K^T \bar{\mathbf{F}}_{ext} = \text{diag}(\mathbf{K}_\theta, \mathbf{K}_a) \Delta \bar{\mathbf{Q}}$$

$$\bar{\mathbf{F}}_K = \text{diag}(\mathbf{K}_\theta, \mathbf{K}_a) \Delta \bar{\mathbf{Q}}$$

$$\mathbf{K}_\theta = \text{diag}(\mathbf{K}_{\theta 1}, \mathbf{K}_{\theta 2})_{12 \times 12}$$

$$\bar{\mathbf{F}}_{ext} = \mathbf{J}_K^{-T} \text{diag}(\mathbf{K}_{\theta 1}, \mathbf{K}_{\theta 2}, \mathbf{K}_a) \mathbf{J}_K^{-1} \Delta \bar{\mathbf{X}}$$

Bilinenler:

$$\bar{\mathbf{F}}_K = \mathbf{J}_K^T \bar{\mathbf{F}}_{ext}$$

$$\Delta \bar{\mathbf{X}} = \mathbf{J}_K \Delta \bar{\mathbf{Q}}$$

$$\mathbf{J}_K^{-1} \Delta \bar{\mathbf{X}} = \Delta \bar{\mathbf{Q}}$$

$$\bar{\mathbf{F}}_{ext} = \underbrace{(\mathbf{J}_\theta^{-T} \mathbf{K}_\theta \mathbf{J}_\theta^{-1} + \bar{\mathbf{J}}_a^{-T} \mathbf{K}_a \bar{\mathbf{J}}_a^{-1})}_{\mathbf{K}_C} \Delta \bar{\mathbf{X}}$$

SMY 2 serbestlik dereceli manipülatör

Eyleyiciler (Aktif mafsallar) rijit kabul edilirse:

$$\mathbf{K}_a = \infty$$

$$\Delta q \approx 0$$

Sanal mafsalın ilk değeri

$$\Delta \bar{\theta} = \bar{\theta}_{son} - \bar{\theta}_{ilk}$$

$$\bar{\theta}_{ilk} = 0$$

$$\Delta \bar{\theta} = \bar{\theta}_{son}$$

$$\Rightarrow \Delta \bar{X} = \mathbf{J}_\theta \bar{\theta}$$

Yeni denklem:

$$\bar{F}_{ext} = (\mathbf{J}_\theta^{-T} \mathbf{K}_\theta \mathbf{J}_\theta^{-1}) \Delta \bar{X}$$

$$\bar{F}_{ext} = \mathbf{J}_\theta^{-T} \mathbf{K}_\theta \bar{\theta}$$

$$\mathbf{J}_\theta = \mathbf{J}_\theta(\bar{\theta}, \bar{q})$$

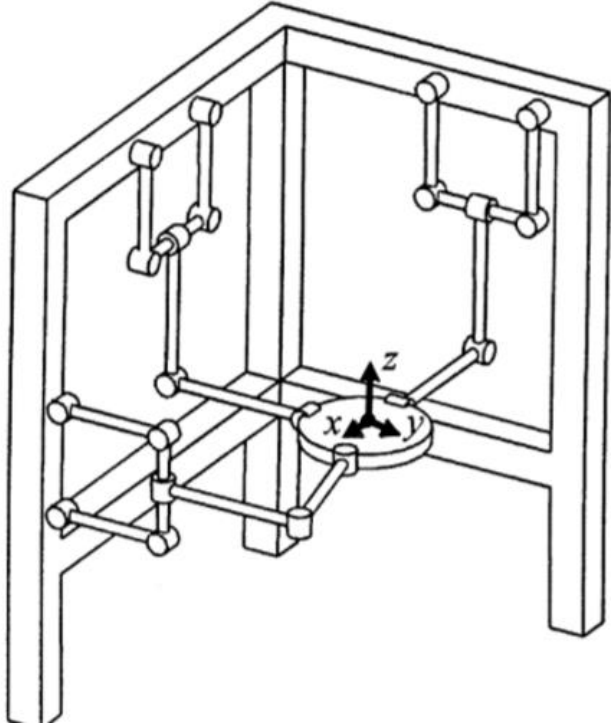
Enkoder verisi

$$\bar{\theta}_{j+1} = \mathbf{K}_\theta^{-1} \mathbf{J}_\theta^T(\bar{\theta}_j, \bar{q}_j) \bar{F}_j^T + \bar{\theta}_j$$

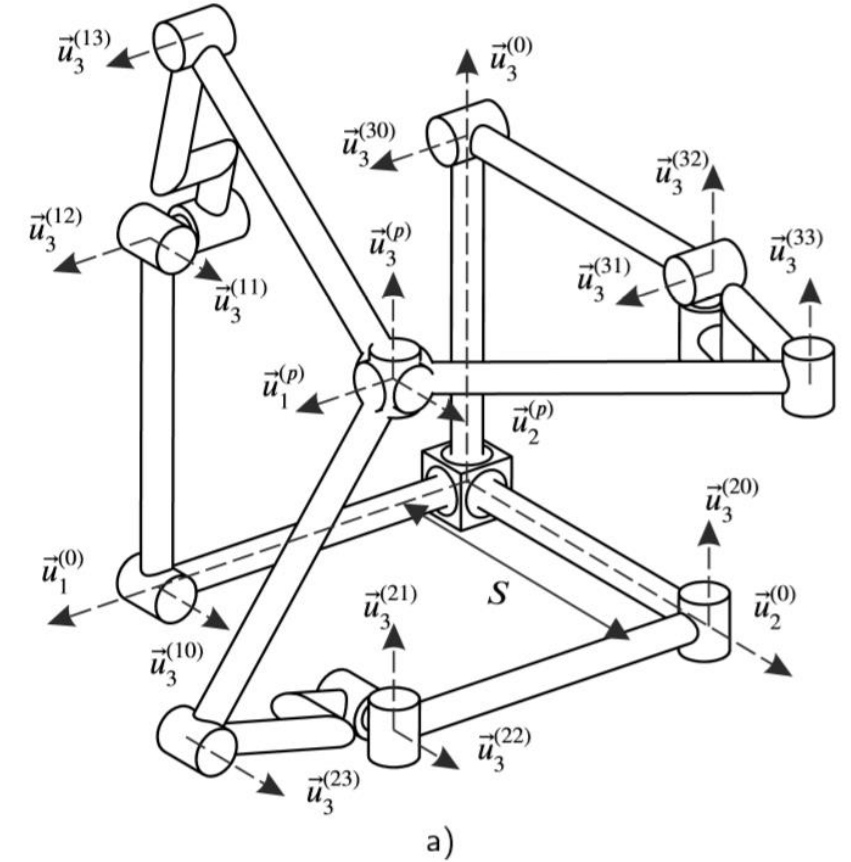
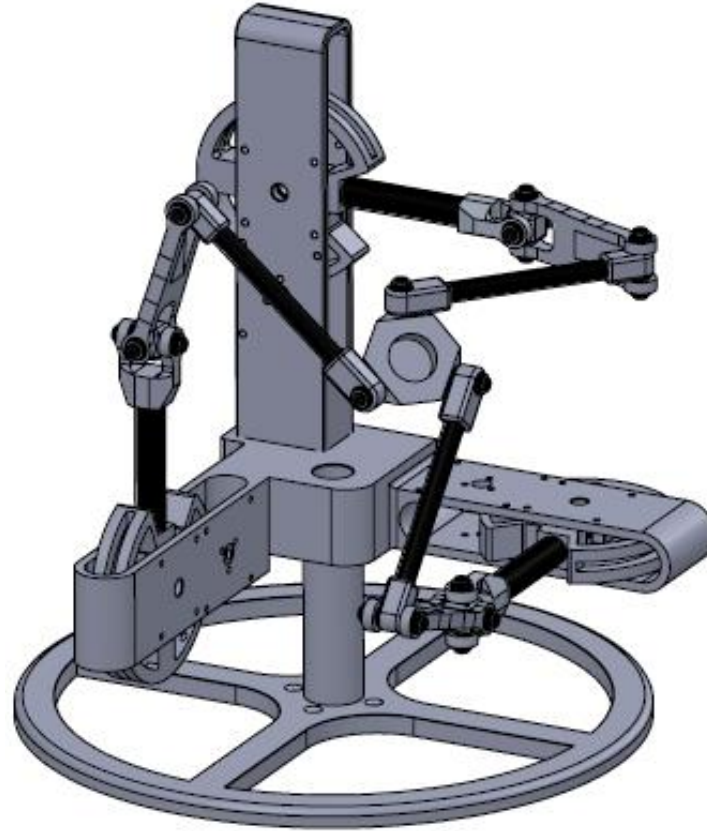
$$\mathbf{C}_C = \mathbf{K}_C^{-1}$$

$$\Delta \bar{X} = \mathbf{C}_C \bar{F}_{ext}$$

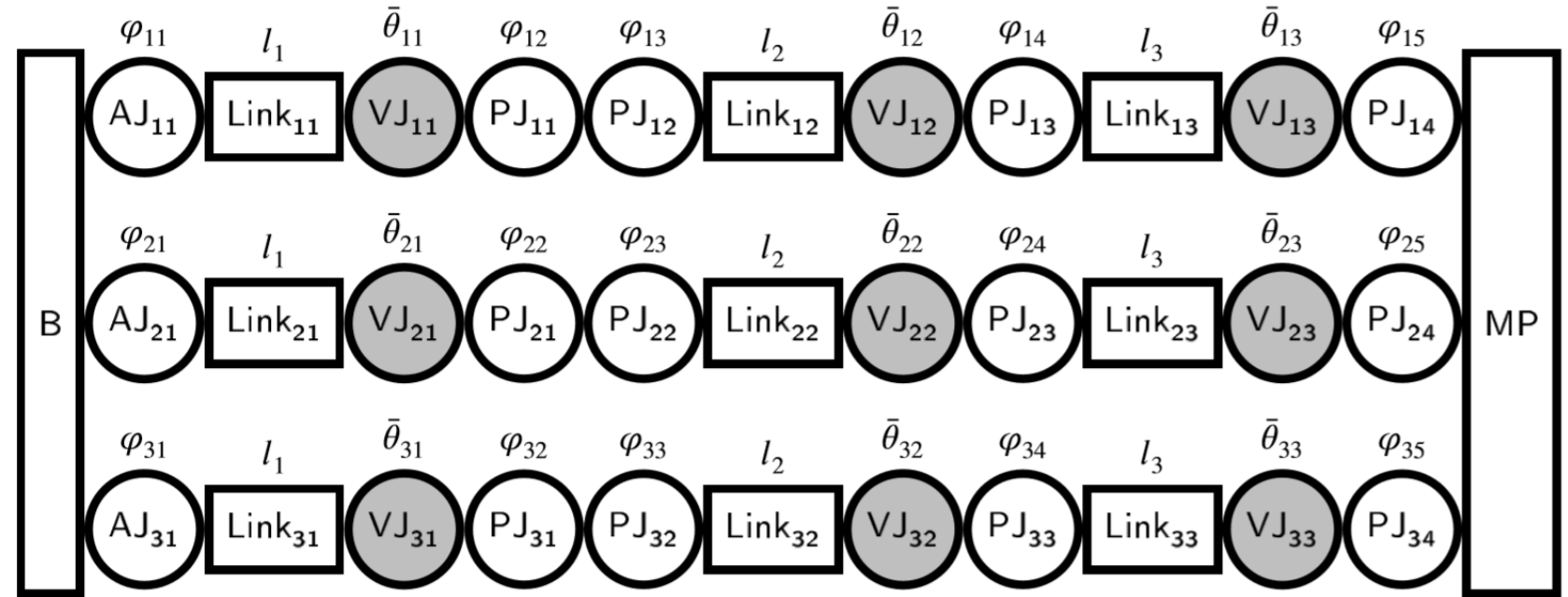
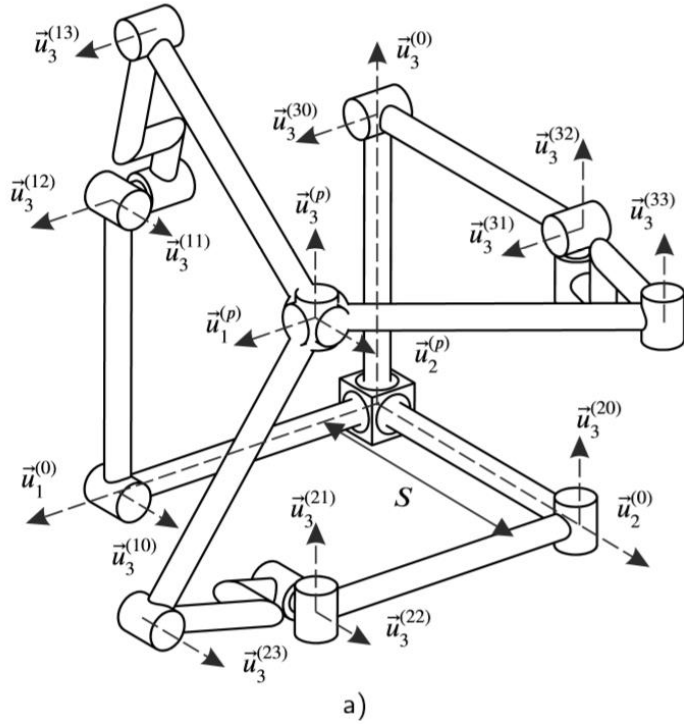
SMY 3 serbestlik dereceli paralel manipülatör



R-CUBE



SMY 3 serbestlik dereceli paralel manipülatör



SMY 3 serbestlik dereceli paralel manipülatör

$$\mathbf{H}^{(i0,K_{i1})} = \mathbf{R}_3(\varphi_{i1})\mathbf{T}_1(l_1)\mathbf{H}_v(\bar{\theta}_{i1})$$

$$\mathbf{H}^{(K_{i1},K_{i2})} = \mathbf{R}_3(\varphi_{i2})\mathbf{R}_1(-\pi/2)\mathbf{R}_3(\varphi_{i3})\mathbf{T}_1(l_2)\mathbf{H}_v(\bar{\theta}_{i2})$$

$$\mathbf{H}^{(K_{i2},K_{i3})} = \mathbf{R}_3(\varphi_{i4})\mathbf{T}_1(l_3)\mathbf{H}_v(\bar{\theta}_{i3})$$

$$\mathbf{H}^{(K_{i3},i5)} = \mathbf{R}_3(\varphi_{i5})$$

$$\mathbf{H}_{Ki} = \mathbf{H}^{(0,i0)}\mathbf{H}^{(i0,K_{i1})}\mathbf{H}^{(K_{i1},K_{i2})}\mathbf{H}^{(K_{i2},K_{i3})}\mathbf{H}^{(K_{i3},i5)}\mathbf{H}^{(i5,p)}$$

$$\mathbf{H}_{Ki} = \begin{bmatrix} \mathbf{R}_{Ki} & \bar{\mathbf{r}}_{Ki} \\ \bar{\mathbf{0}}^T & 1 \end{bmatrix}$$

$$\mathbf{H}_{K1} = \mathbf{H}_{K2} = \mathbf{H}_{K3}$$

$$\bar{\mathbf{q}}_{pi} = [\varphi_{i2} \quad \varphi_{i3} \quad \varphi_{i4} \quad \varphi_{i5}]_{4 \times 1}^T, \quad \bar{q}_i = \varphi_{i1}$$

$$\bar{\theta}_i = [\bar{\theta}_{i1}^T \quad \bar{\theta}_{i2}^T \quad \bar{\theta}_{i3}^T]_{18 \times 1}^T$$

$$\bar{\mathbf{Q}}_i = [\bar{\theta}_i^T \quad \bar{\mathbf{q}}_{pi}^T \quad q_{i1}]_{23 \times 1}^T$$

Sanal mafsal etkisi: $\mathbf{J}_{\theta i} = [\bar{\mathbf{J}}_{Ki1} \quad \bar{\mathbf{J}}_{Ki2} \quad \dots \quad \bar{\mathbf{J}}_{Ki18}]_{6 \times 18}$

Pasif mafsal etkisi: $\mathbf{J}_{pi} = [\bar{\mathbf{J}}_{Ki19} \quad \bar{\mathbf{J}}_{Ki20} \quad \bar{\mathbf{J}}_{Ki21} \quad \bar{\mathbf{J}}_{Ki22}]_{6 \times 4}$

Aktif mafsal etkisi: $\bar{\mathbf{J}}_{ai} = [\bar{\mathbf{J}}_{Ki23}]_{6 \times 1}$

$$\mathbf{J}_{Ki} = [\mathbf{J}_{\theta i} \quad \mathbf{J}_{pi} \quad \bar{\mathbf{J}}_{ai}]_{6 \times 23}$$

SMY 3 serbestlik dereceli paralel manipülatör

$$\bar{F}_{ext} = (\mathbf{J}_{\theta i}^{-T} \mathbf{K}_{\theta i} \mathbf{J}_{\theta i}^{-1} + \mathbf{J}_{pi}^{-T} \mathbf{K}_{pi} \mathbf{J}_{pi}^{-1} + \bar{\mathbf{J}}_{ai}^{-T} \mathbf{K}_{ai} \bar{\mathbf{J}}_{ai}^{-1}) \Delta \bar{X}_i$$

Aktif mafsallar rijit.

$$\bar{F}_{ext} = (\mathbf{J}_{\theta i}^{-T} \mathbf{K}_{\theta i} \mathbf{J}_{\theta i}^{-1} + \mathbf{J}_{pi}^{-T} \mathbf{K}_{pi} \mathbf{J}_{pi}^{-1}) \Delta \bar{X}_i$$

Pasif mafsal direngenliđi yok. Kendi eksenlerinde dönme serbestliđi var.

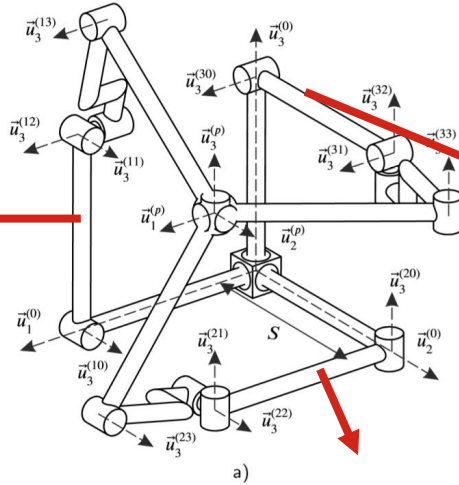
$$\bar{F}_{ext} = (\mathbf{J}_{\theta i}^{-T} \mathbf{K}_{\theta i} \mathbf{J}_{\theta i}^{-1}) \Delta \bar{X}_i \quad \mathbf{J}_{pi}^T \bar{F}_{ext} = \bar{\mathbf{0}}$$

Pasif eksen direngenlik matrisindeki bazı deđerlerin sıfırlanmasına yol açar. Bu etki şöyle hesaplanır.

$$\begin{bmatrix} (\mathbf{J}_{\theta i} \mathbf{K}_{\theta i}^{-1} \mathbf{J}_{\theta i}^T) & \mathbf{J}_{pi} \\ \mathbf{J}_{pi}^T & \mathbf{0} \end{bmatrix} \begin{bmatrix} \bar{F}_{ext} \\ \Delta \bar{q}_{pi} \end{bmatrix} = \begin{bmatrix} \Delta \bar{X}_i \\ \bar{\mathbf{0}} \end{bmatrix} \longrightarrow \begin{bmatrix} (\mathbf{J}_{\theta i} \mathbf{K}_{\theta i}^{-1} \mathbf{J}_{\theta i}^T) & \mathbf{J}_{pi} \\ \mathbf{J}_{pi}^T & \mathbf{0} \end{bmatrix}^{-1} = \begin{bmatrix} [\mathbf{K}_{Ci}]_{6 \times 6} & \sim \\ \sim & \sim \end{bmatrix}$$

SMY 3 serbestlik dereceli paralel manipülatör

$$\hat{K}_{C1} = \begin{bmatrix} K_{C111} & 0 & 0 & 0 & K_{C115} & K_{C116} \\ 0 & 0 & 0 & 0 & 0 & 0 \\ 0 & 0 & 0 & 0 & 0 & 0 \\ 0 & 0 & 0 & 0 & 0 & 0 \\ K_{C115} & 0 & 0 & 0 & K_{C155} & K_{C156} \\ K_{C116} & 0 & 0 & 0 & K_{C156} & K_{C166} \end{bmatrix}$$



$$\hat{K}_{C2} = \begin{bmatrix} 0 & 0 & 0 & 0 & 0 & 0 \\ 0 & K_{C222} & 0 & K_{C224} & 0 & K_{C226} \\ 0 & 0 & 0 & 0 & 0 & 0 \\ 0 & K_{C224} & 0 & K_{C244} & 0 & K_{C246} \\ 0 & 0 & 0 & 0 & 0 & 0 \\ 0 & K_{C226} & 0 & K_{C246} & 0 & K_{C266} \end{bmatrix}$$

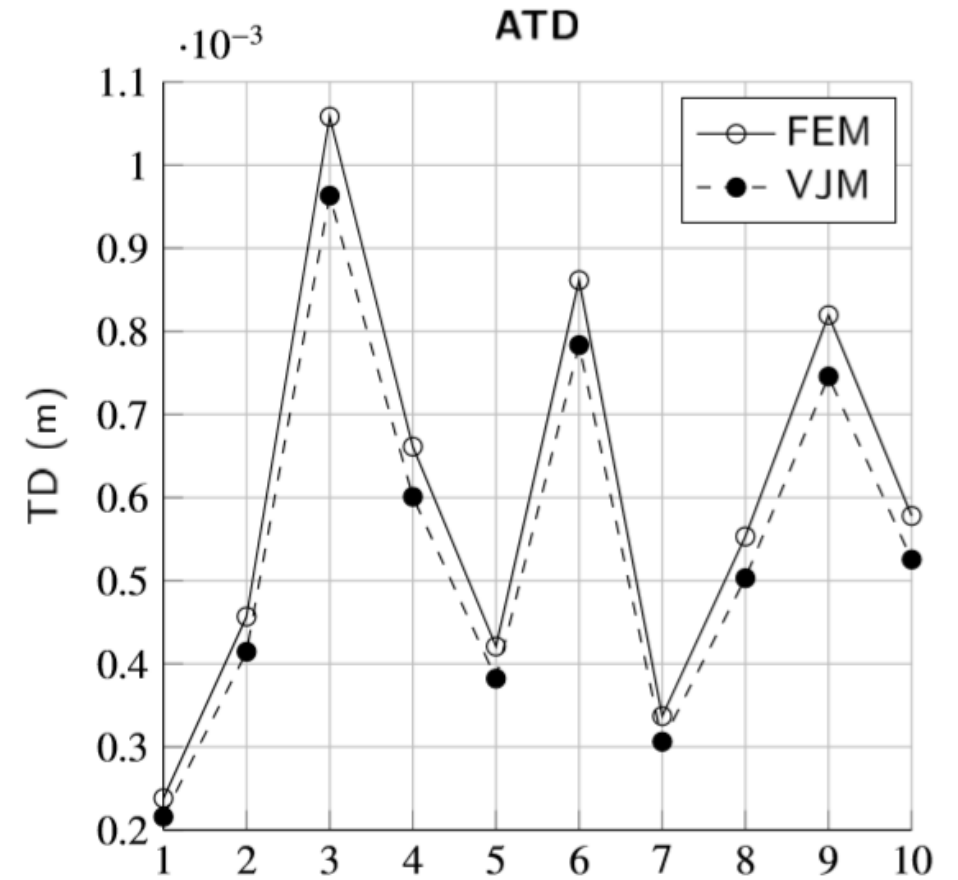
$$\hat{K}_{C3} = \begin{bmatrix} 0 & 0 & 0 & 0 & 0 & 0 \\ 0 & 0 & 0 & 0 & 0 & 0 \\ 0 & 0 & K_{C333} & K_{C334} & K_{C335} & 0 \\ 0 & 0 & K_{C334} & K_{C344} & K_{C345} & 0 \\ 0 & 0 & K_{C335} & K_{C345} & K_{C355} & 0 \\ 0 & 0 & 0 & 0 & 0 & 0 \end{bmatrix}$$

SMY 3 serbestlik dereceli paralel manipölatör

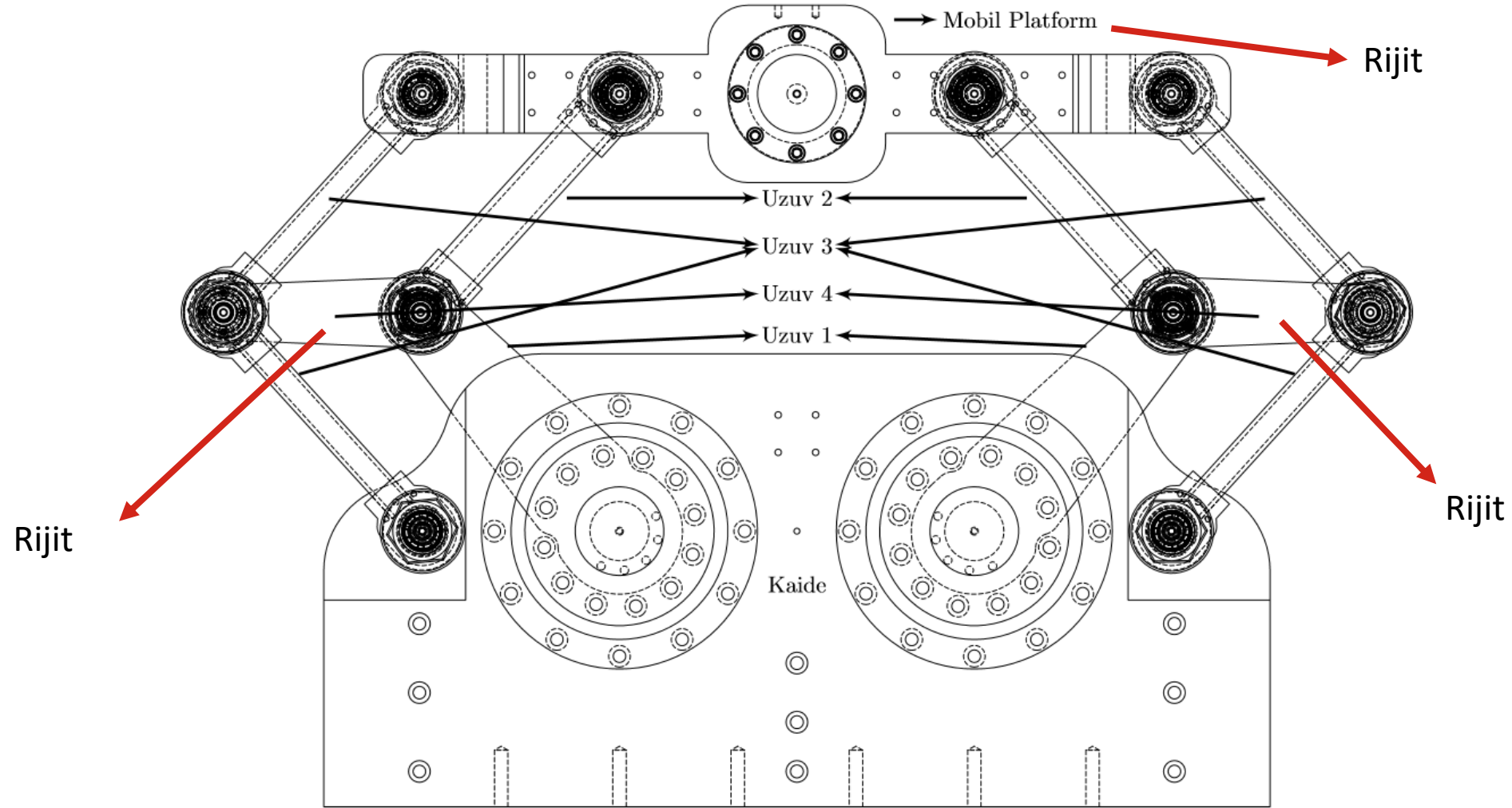
Paralel Yaylar Toplanır:
$$K_C = \sum_{i=1}^3 K_{Ci}$$

$$\hat{K}_C = \begin{bmatrix} K_{C111} & 0 & 0 & 0 & K_{C115} & K_{C116} \\ 0 & K_{C222} & 0 & K_{C224} & 0 & K_{C226} \\ 0 & 0 & K_{C333} & K_{C334} & K_{C335} & 0 \\ 0 & K_{C224} & K_{C334} & K_{C244} + K_{C344} & K_{C345} & K_{C246} \\ K_{C115} & 0 & K_{C335} & K_{C345} & K_{C155} + K_{C355} & K_{C156} \\ K_{C116} & K_{C226} & 0 & K_{C246} & K_{C156} & K_{C166} + K_{C266} \end{bmatrix}$$

GÖRGÜLÜ, İbrahimcan; CARBONE, Giuseppe; DEDE, Mİ Can. Time efficient stiffness model computation for a parallel haptic mechanism via the virtual joint method. *Mechanism and Machine Theory*, 2020, 143: 103614.

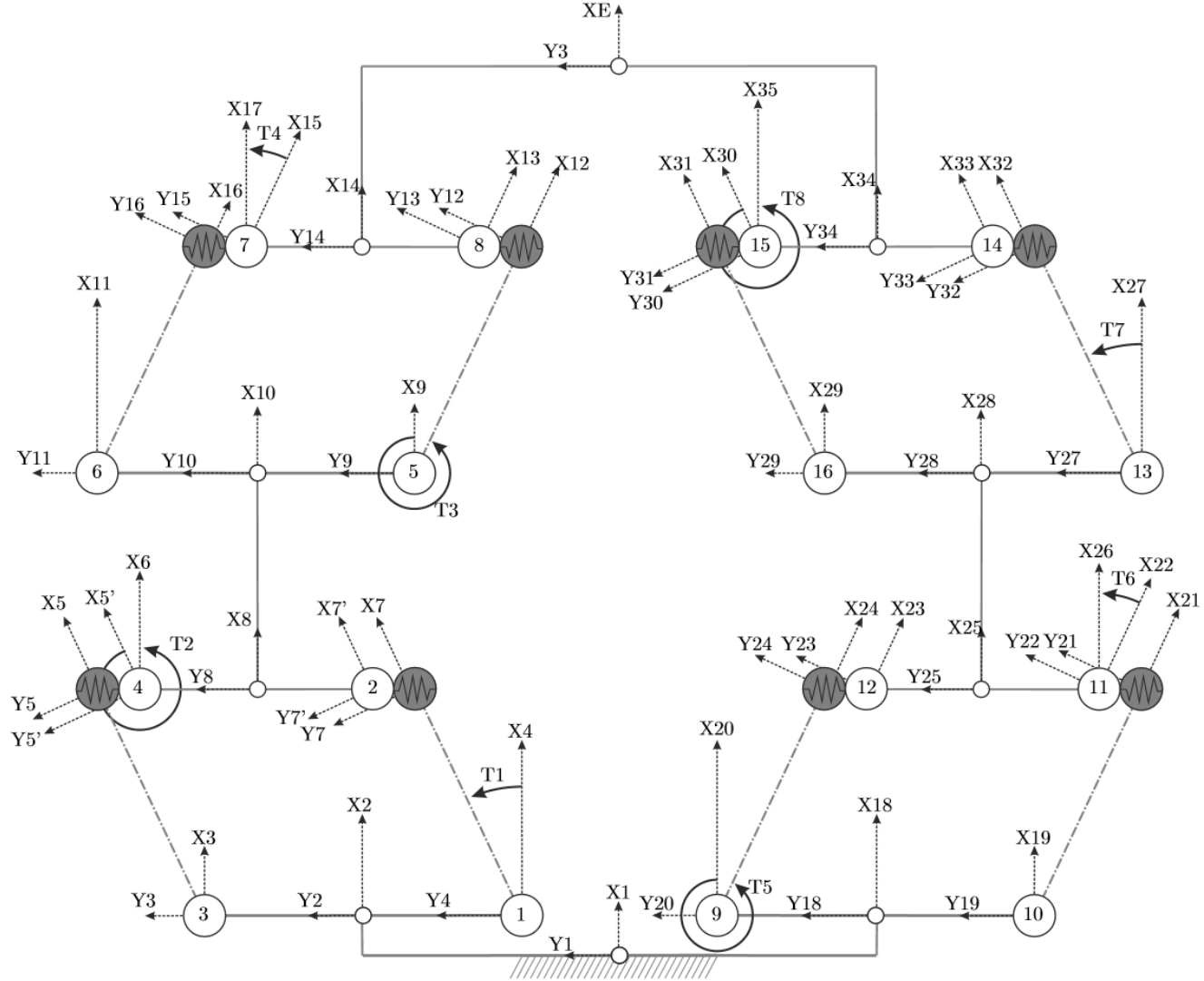


SMY'nin Fazla Kısıtlı Düzlemsel Bir Paralel Mekanizmaya Uygulanması



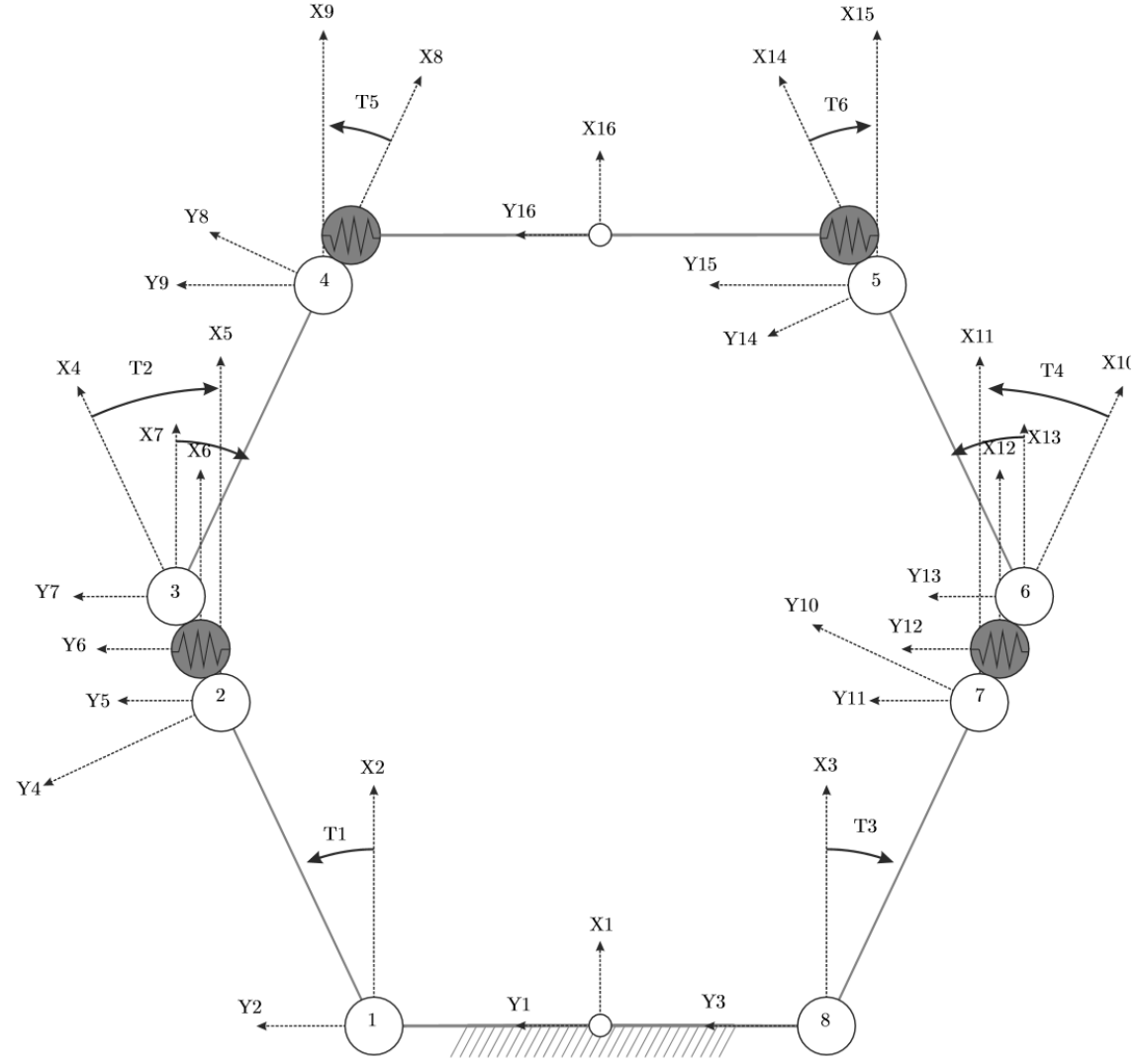
SMY'nin Fazla Kısıtlı Düzlemsel Bir Paralel Mekanizmaya Uygulanması

1. Paralelogramları tek bir uzva dönüştür.
2. Her seri zincir için direngenlik hesapla.
3. Manipülator direngenliğini hesapla.

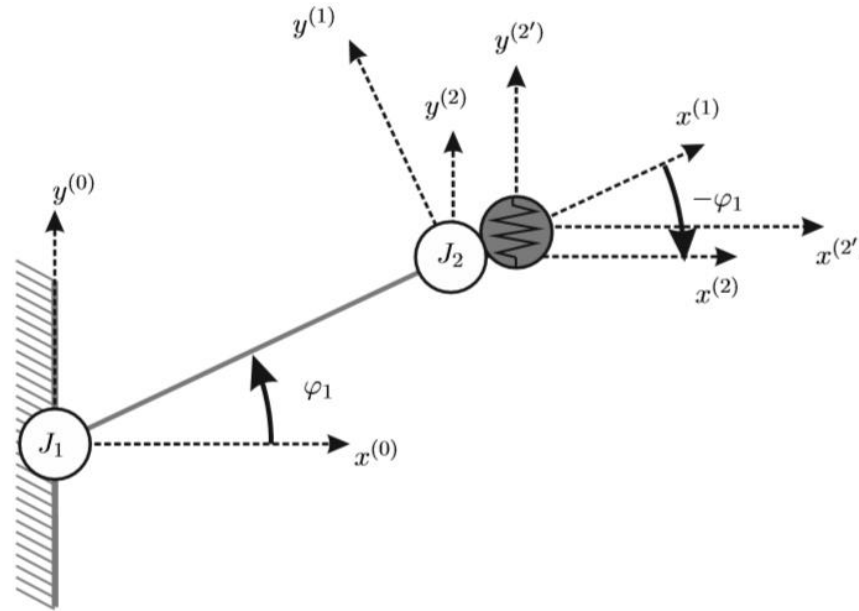
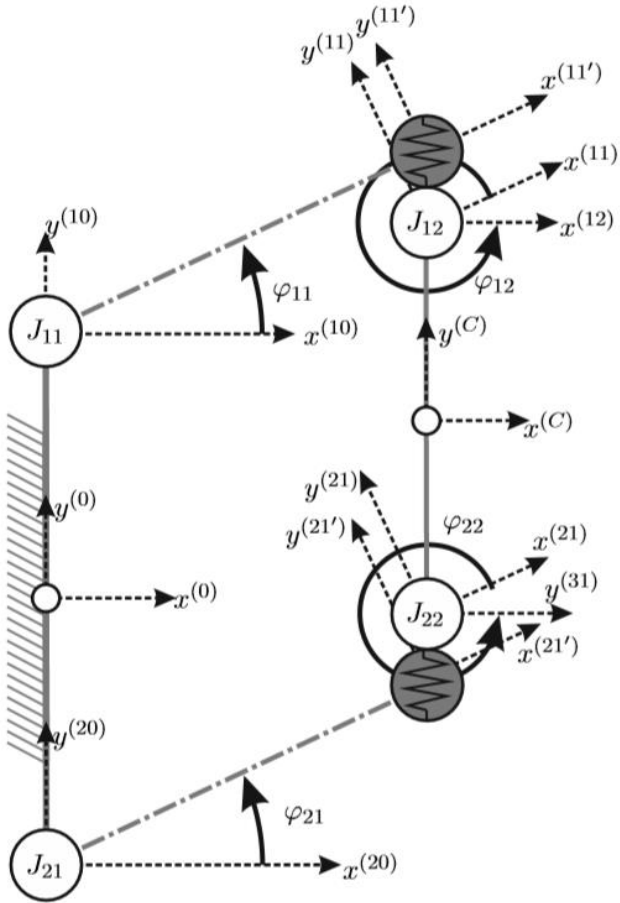


SMY'nin Fazla Kısıtlı Düzlemsel Bir Paralel Mekanizmaya Uygulanması

1. Paralelogramları tek bir uzva dönüştür.
2. Her seri zincir için direngenlik hesapla.
3. Manipülator direngenliğini hesapla.



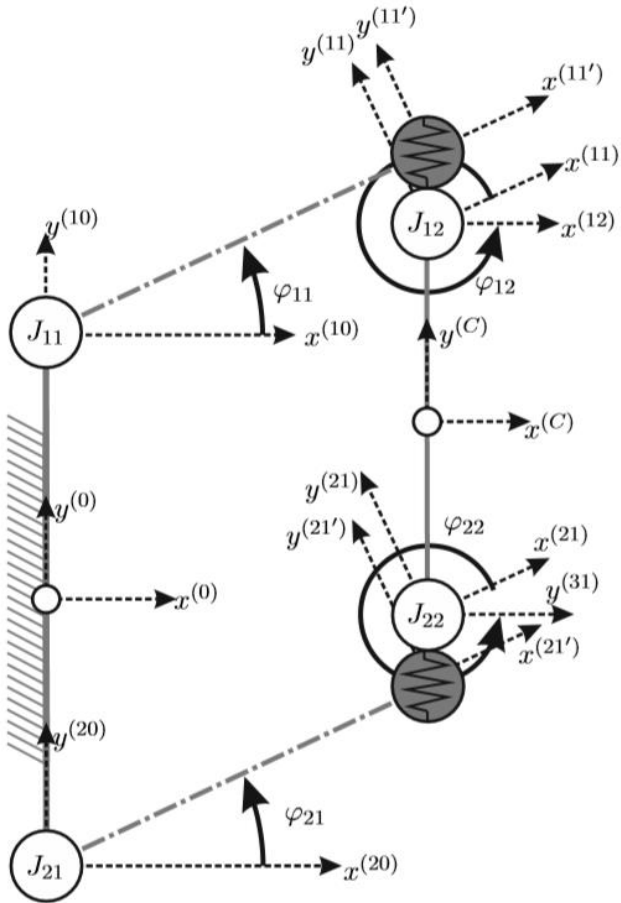
SMY'nin Fazla Kısıtlı Düzlemsel Bir Paralel Mekanizmaya Uygulanması



1. Paralelogramları tek bir uzva dönüştür.
2. Her seri zincir için direngenlik hesapla.
3. Manipülatör direngenliğini hesapla.

NOT: Paralelogram direngenlik matrisleri tam dereceli matrisler olmalı. Aksi takdirde paralelogram direngenliği hesaplanırken, tersi alınamayan matrisler oluşur.

SMY'nin Fazla Kısıtlı Düzlemsel Bir Paralel Mekanizmaya Uygulanması (aktif paralelogramlar)



$$\mathbf{H}_{UP} = \mathbf{T}_2(d/2)\mathbf{R}_3(\varphi_{11})\mathbf{T}_1(l_1)\mathbf{H}_v(\bar{\theta}_{11}')\mathbf{R}_3(\varphi_{12})\mathbf{T}_2(-d/2)$$

$$\mathbf{H}_{DN} = \mathbf{T}_2(-d/2)\mathbf{R}_3(\varphi_{21})\mathbf{T}_1(l_1)\mathbf{H}_v(\bar{\theta}_{21}')\mathbf{R}_3(\varphi_{22})\mathbf{T}_2(d/2)$$

$$\mathbf{H}_{UP} = \mathbf{H}_{DN}$$

$$\varphi_{11} = \varphi_{21}, \quad \varphi_{12} = \varphi_{22}, \quad \varphi_{11} + \varphi_{12} = \varphi_{21} + \varphi_{22} = 2\pi k \quad \text{for } k = 1, 2, \dots, \infty$$

Değişkenler:

$$\bar{\mathbf{Q}}_{UP} = [\bar{\theta}_{11}'^T \bar{\mathbf{q}}_{UP}^T]_{8 \times 1}^T, \quad \bar{\mathbf{q}}_{UP} = [q_{aUP} \ q_{pUP}]_{2 \times 1}^T, \quad q_{aUP} = [\varphi_{11}]_{1 \times 1}, \quad q_{pUP} = [\varphi_{12}]_{1 \times 1}$$

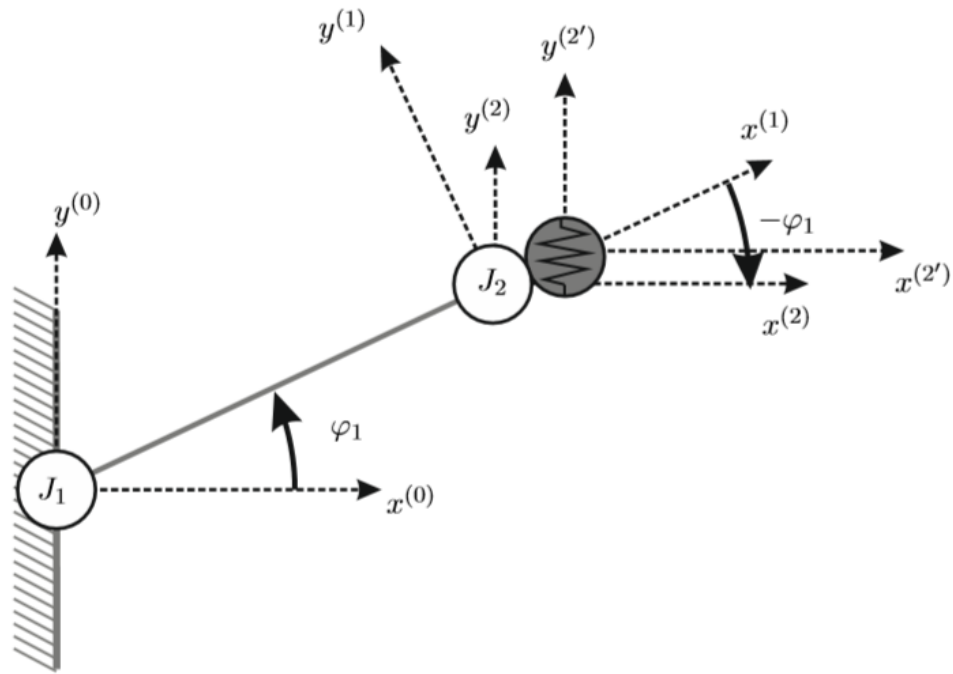
$$\bar{\mathbf{Q}}_{DN} = [\bar{\theta}_{21}'^T \bar{\mathbf{q}}_{DN}^T]_{8 \times 1}^T, \quad \bar{\mathbf{q}}_{DN} = [\bar{q}_{pDN}]_{2 \times 1}^T, \quad \bar{q}_{pDN} = [\varphi_{21} \ \varphi_{22}]_{2 \times 1}^T$$

$$\left[\begin{array}{cc} (\mathbf{J}_{\theta i} \mathbf{K}_{\theta i}^{-1} \mathbf{J}_{\theta i}^T) & \mathbf{J}_{p i} \\ \mathbf{J}_{p i}^T & \mathbf{0} \end{array} \right]^{-1} = \left[\begin{array}{c|c} [\mathbf{K}_{C i}]_{6 \times 6} & \sim \\ \hline \sim & \sim \end{array} \right]$$

$$\mathbf{K}_{C(UP)}(\varphi_1)$$

$$\mathbf{K}_{C(DN)}(\varphi_1)$$

SMY'nin Fazla Kısıtlı Düzlemsel Bir Paralel Mekanizmaya Uygulanması (Aktif Paralelogram)



$$\mathbf{K}_{C(active)}(\varphi_1) = \mathbf{K}_{C(UP)}(\varphi_1) + \mathbf{K}_{C(DN)}(\varphi_1)$$

$$\mathbf{K}_{C(Eq)} = \mathbf{K}_{C(active)}(\varphi_1)$$

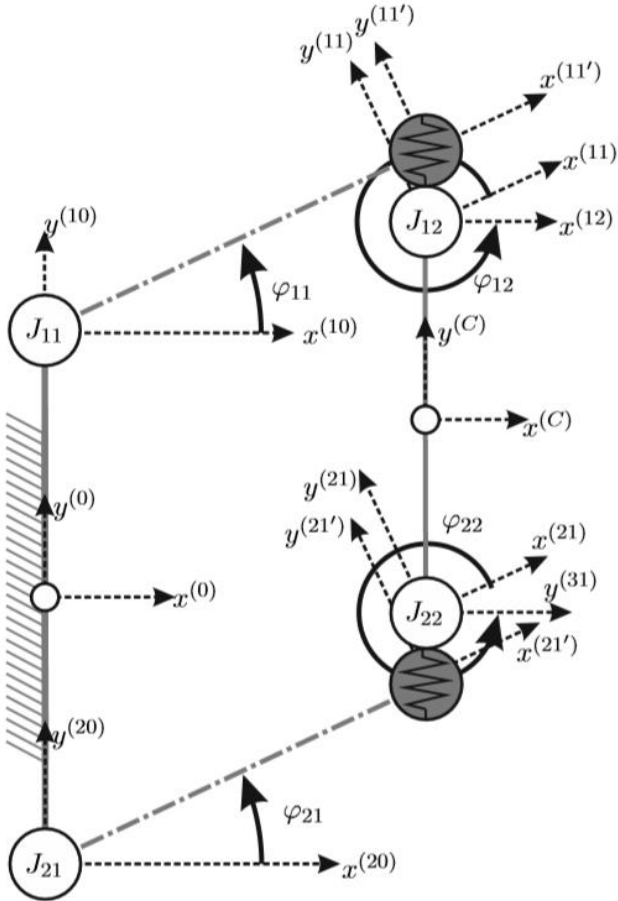
$$\text{rank } \mathbf{K}_{C(UP)} = 5 \quad \text{rank } \mathbf{K}_{C(DN)} = 4$$

$$\text{rank } \mathbf{K}_{C(active)} = 6$$

$$\mathbf{H}_{Eq} = \mathbf{R}_3(\varphi_1) \mathbf{T}_1(l_1) \mathbf{R}_3(-\varphi_1) \mathbf{H}_v(\bar{\theta}_{2'})$$

$$\bar{\mathbf{Q}}_{Eq} = [\bar{\theta}_{2'}^T \ q_{Eq}]_{7 \times 1}^T, \quad q_{Eq} = [q_{aEq}]_{1 \times 1}, \quad q_{aEq} = [\varphi_1]_{1 \times 1}$$

SMY'nin Fazla Kısıtlı Düzlemsel Bir Paralel Mekanizmaya Uygulanması (Pasif paralelogramlar)



$$\mathbf{H}_{UP} = \mathbf{T}_2(d/2)\mathbf{R}_3(\varphi_{11})\mathbf{T}_1(l_1)\mathbf{H}_v(\bar{\theta}_{11'})\mathbf{R}_3(\varphi_{12})\mathbf{T}_2(-d/2)$$

$$\mathbf{H}_{DN} = \mathbf{T}_2(-d/2)\mathbf{R}_3(\varphi_{21})\mathbf{T}_1(l_1)\mathbf{H}_v(\bar{\theta}_{21'})\mathbf{R}_3(\varphi_{22})\mathbf{T}_2(d/2)$$

$$\mathbf{H}_{UP} = \mathbf{H}_{DN}$$

$$\varphi_{11} = \varphi_{21}, \quad \varphi_{12} = \varphi_{22}, \quad \varphi_{11} + \varphi_{12} = \varphi_{21} + \varphi_{22} = 2\pi k \quad \text{for } k = 1, 2, \dots, \infty$$

Değişkenler:

$$\bar{\mathbf{Q}}_{UP} = [\bar{\theta}_{11'}^T, \bar{\mathbf{q}}_{UP}^T]_{8 \times 1}^T, \quad \bar{\mathbf{q}}_{UP} = [\bar{\mathbf{q}}_{pUP}]_{2 \times 1}^T, \quad \bar{\mathbf{q}}_{pUP} = [\varphi_{11} \quad \varphi_{12}]_{2 \times 1}^T$$

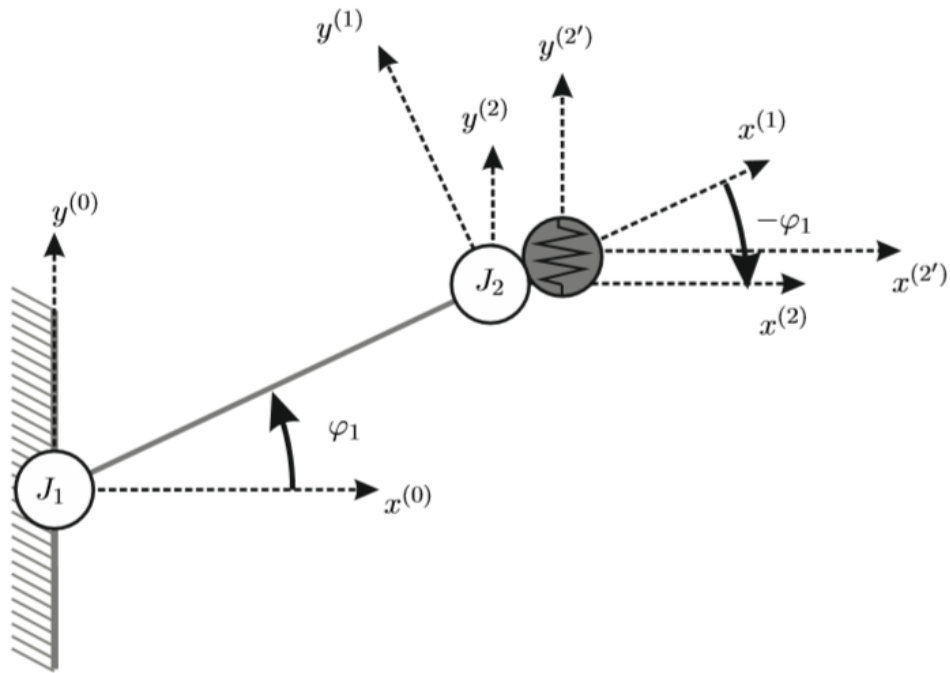
$$\bar{\mathbf{Q}}_{DN} = [\bar{\theta}_{21'}^T, \bar{\mathbf{q}}_{DN}^T]_{8 \times 1}^T, \quad \bar{\mathbf{q}}_{DN} = [\bar{\mathbf{q}}_{pDN}]_{2 \times 1}^T, \quad \bar{\mathbf{q}}_{pDN} = [\varphi_{21} \quad \varphi_{22}]_{2 \times 1}^T$$

$$\begin{bmatrix} (\mathbf{J}_{\theta i} \mathbf{K}_{\theta i}^{-1} \mathbf{J}_{\theta i}^T) & \mathbf{J}_{pi} \\ \mathbf{J}_{pi}^T & \mathbf{0} \end{bmatrix}^{-1} = \begin{bmatrix} [\mathbf{K}_{Ci}]_{6 \times 6} & \sim \\ \sim & \sim \end{bmatrix} \longrightarrow (\mathbf{J}_{\theta i}^{-T} \mathbf{K}_{\theta i} \mathbf{J}_{\theta i}^{-1})$$

$$\mathbf{K}_{C(UP)}(\varphi_1)$$

$$\mathbf{K}_{C(DN)}(\varphi_1)$$

SMY'nin Fazla Kısıtlı Düzlemsel Bir Paralel Mekanizmaya Uygulanması (Pasif Paralelogram)



$$\mathbf{K}_{C(passive)}(\varphi_1) = \mathbf{K}_{C(UP)}(\varphi_1) + \mathbf{K}_{C(DN)}(\varphi_1)$$

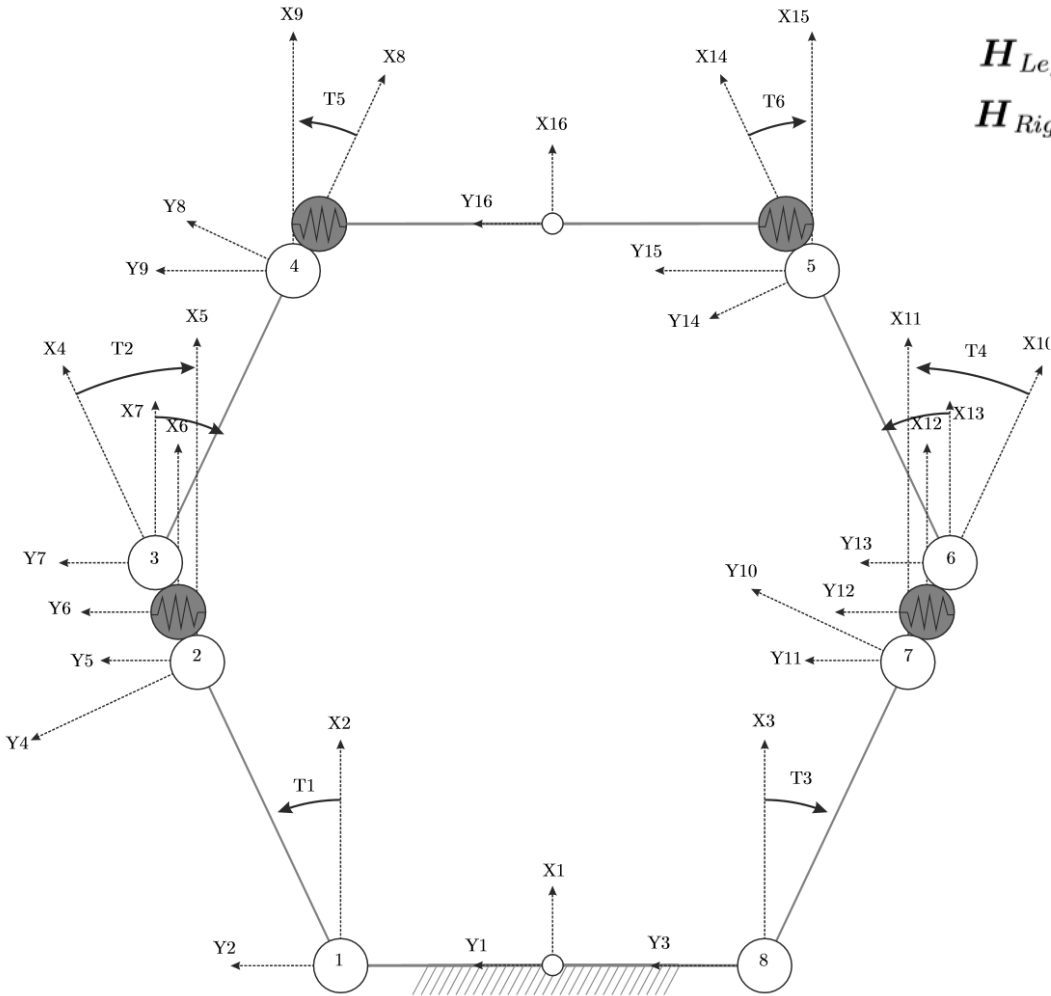
$$\mathbf{K}_{C(Eq)} = \mathbf{K}_{C(passive)}(\varphi_1)$$

$$\text{rank } \mathbf{K}_{C(UP)} = \text{rank } \mathbf{K}_{C(DN)} = 6$$

$$\mathbf{H}_{Eq} = \mathbf{R}_3(\varphi_1) \mathbf{T}_1(l_1) \mathbf{R}_3(-\varphi_1) \mathbf{H}_v(\bar{\theta}_{2'})$$

$$\bar{\mathbf{Q}}_{Eq} = [\bar{\theta}_{2'}^T \ q_{Eq}]_{7 \times 1}^T, \quad q_{Eq} = [q_{aEq}]_{1 \times 1}, \quad q_{aEq} = [\varphi_1]_{1 \times 1}$$

SMY'nin Fazla Kısıtlı Düzlemsel Bir Paralel Mekanizmaya Uygulanması



$$H_{Left} = T_2(d/2)R_3(\varphi_{11})T_1(l_1)R_3(-\varphi_{11})H_v(\bar{\theta}_{11'})R_3(\varphi_{12})T_1(l_1)R_3(-\varphi_{12})H_v(\bar{\theta}_{12'})T_2(-d/2)$$

$$H_{Right} = T_2(-d/2)R_3(\varphi_{21})T_1(l_1)R_3(-\varphi_{21})H_v(\bar{\theta}_{21'})R_3(\varphi_{22})T_1(l_1)R_3(-\varphi_{22})H_v(\bar{\theta}_{22'})T_2(d/2)$$

$$\varphi_{22} = \varphi_{11} = \varphi_1$$

$$\varphi_{12} = \varphi_{21} = \varphi_2$$

$$\bar{Q}_{Left} = [\bar{\theta}_{Left}^T \bar{q}_{Left}^T]^T, \bar{q}_{Left} = [q_{aLeft} \ q_{pLeft}]^T, q_{aLeft} = [\varphi_{11}]_{1 \times 1}$$

$$q_{pLeft} = [\varphi_{12}]_{1 \times 1}, \bar{\theta}_{Left} = [\bar{\theta}_{11'}^T \ \bar{\theta}_{12'}^T]^T$$

$$\bar{Q}_{Right} = [\bar{\theta}_{Right}^T \bar{q}_{Right}^T]^T, \bar{q}_{Right} = [q_{aRight} \ q_{pRight}]^T, q_{aRight} = [\varphi_{21}]_{1 \times 1}$$

$$q_{pRight} = [\varphi_{22}]_{1 \times 1}, \bar{\theta}_{Right} = [\bar{\theta}_{21'}^T \ \bar{\theta}_{22'}^T]^T$$

SMY'nin Fazla Kısıtlı Düzlemsel Bir Paralel Mekanizmaya Uygulanması

$$\mathbf{K}_{\theta Left}(\varphi_{11}, \varphi_{12}) = \text{diag}(\mathbf{K}_{C(active)}(\varphi_{11}), \mathbf{K}_{C(passive)}(\varphi_{11}))$$

$$\mathbf{K}_{\theta Right}(\varphi_{21}, \varphi_{22}) = \text{diag}(\mathbf{K}_{C(active)}(\varphi_{21}), \mathbf{K}_{C(passive)}(\varphi_{22}))$$

$$\begin{bmatrix} (\mathbf{J}_{\theta i} \mathbf{K}_{\theta i}^{-1} \mathbf{J}_{\theta i}^T) & \mathbf{J}_{pi} \\ \mathbf{J}_{pi}^T & \mathbf{0} \end{bmatrix}^{-1} = \begin{bmatrix} [\mathbf{K}_{Ci}]_{6 \times 6} & \sim \\ \sim & \sim \end{bmatrix} \quad \text{rank } \mathbf{K}_{CRight} = 5$$

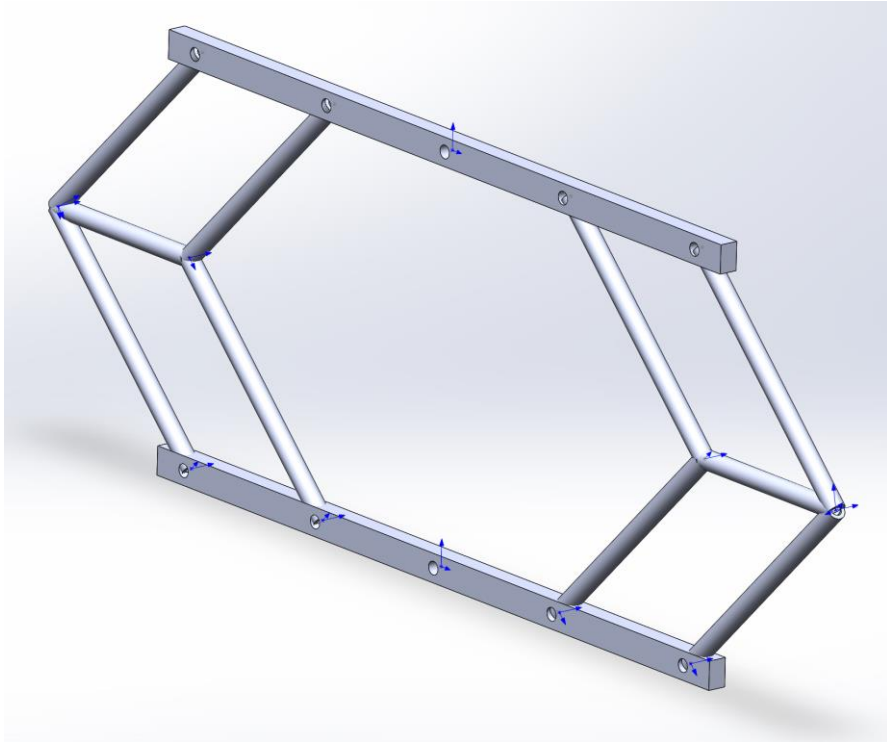
$$\mathbf{K}_{CLeft}(\varphi_{11}, \varphi_{12}) \quad \mathbf{K}_{CRight}(\varphi_{21}, \varphi_{22}) \quad \text{rank}(\mathbf{K}_{CLeft}) = 5$$

$$\mathbf{K}_C(\varphi_{11}, \varphi_{12}, \varphi_{21}, \varphi_{22}) = \mathbf{K}_{CLeft}(\varphi_{11}, \varphi_{12}) + \mathbf{K}_{CRight}(\varphi_{21}, \varphi_{22})$$

$$\begin{array}{l} \varphi_{22} = \varphi_{11} = \varphi_1 \\ \varphi_{12} = \varphi_{21} = \varphi_2 \end{array} \quad \rightarrow \quad \mathbf{K}_C(\varphi_1, \varphi_2) = \mathbf{K}_{CLeft}(\varphi_1, \varphi_2) + \mathbf{K}_{CRight}(\varphi_2, \varphi_1)$$

$$\text{rank}(\mathbf{K}_C) = 6$$

SMY'nin Fazla Kısıtlı Düzlemsel Bir Paralel Mekanizmaya Uygulanması



SOLIDWORKS
45°, -45°

1.0e+06 *

0.0759	-0.0000	0	0	0	-0.0053
0.0000	0.0759	0	0	0	-0.0106
0	0	0.2254	0.0000	0.0239	0
0	0	0.0000	0.0143	0.0000	0
0	0	0.0239	0.0000	0.0035	0
-0.0053	-0.0106	0	0	0	1.3162

6x6

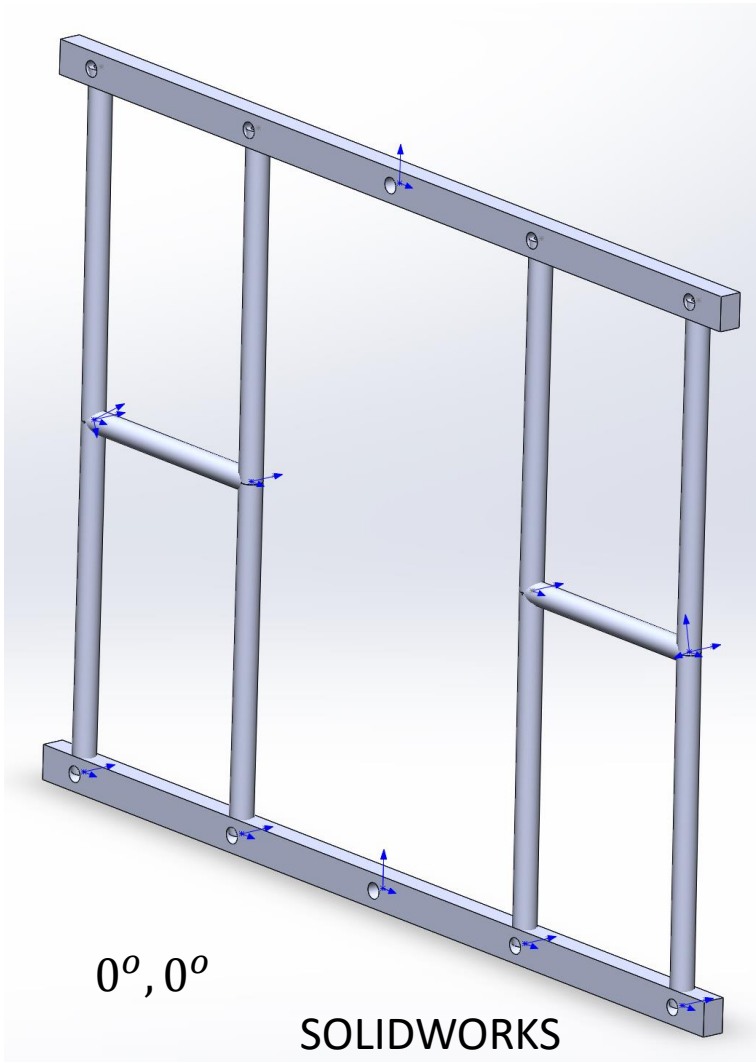


1.0e+06 *

0.0759	-0.0000
0.0000	0.0759

2x2

SMY'nin Fazla Kısıtlı Düzlemsel Bir Paralel Mekanizmaya Uygulanması



1.0e+08 *

1.3404	0	0	0	0	0	0
0	0	0	0	0	0	0
0	0	0.0015	0	0.0002	0	0
0	0	0	0.0002	0	0	0
0	0	0.0002	0	0.0000	0	0
0	0	0	0	0	0	0.0525

6x6

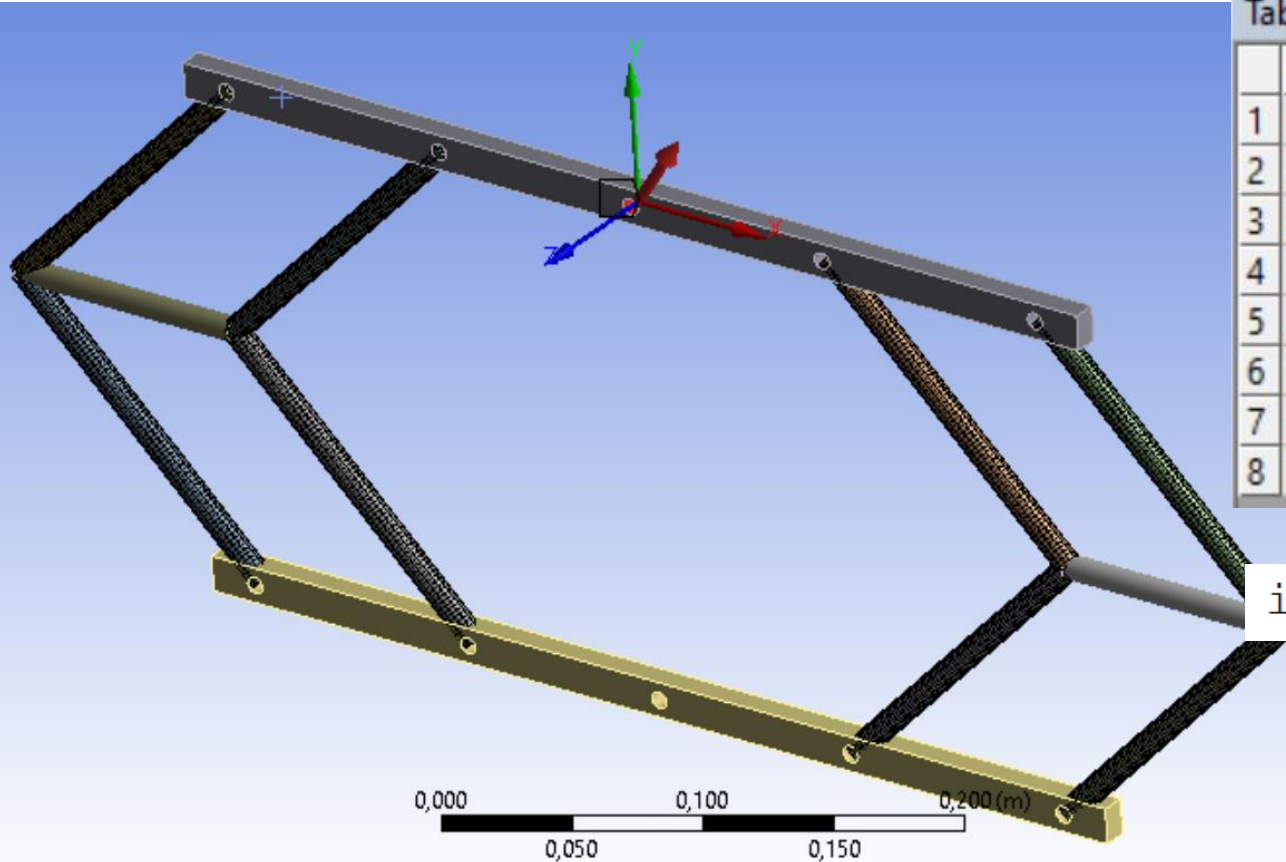


1.0e+08 *

1.3404	0
0	0

2x2

SMY'nin Fazla Kısıtlı Düzlemsel Bir Paralel Mekanizmaya Uygulanması



ANSYS

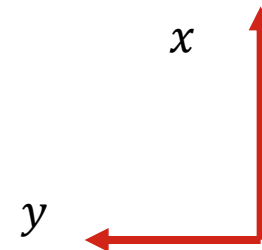
 $45^\circ, -45^\circ$

$$F = [250; 380; 0]$$

Tabular Data

	Time [s]	Deformation Probe (X) [mm]	Deformation Probe (Y) [mm]
1	0,2	0,66889	1,0013
2	0,4	1,3416	1,9896
3	0,7	2,3559	3,4459
4	1,	3,3742	4,8683
5	1,2	3,3743	4,8684
6	1,4	3,3743	4,8684
7	1,7	3,3743	4,8684
8	2,	3,3743	4,8684

$$\text{inv}(KC(\pi/4, -\pi/4)) * [380; -250; 0; 0; 0; 0] * 1000$$



ans =

5.0067

-3.2950

$$F = K\Delta x$$

$$C = K^{-1}$$

$$CF = \Delta x$$

SMY'nin Fazla Kısıtlı Düzlemsel Bir Paralel Mekanizmaya Uygulanması

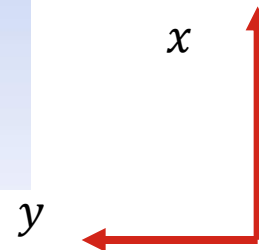
Tabular Data

	Time [s]	Deformation Probe (X) ...	Deformation Probe (Y) [mm]
1	0,2	0,25954	-0,33052
2	0,4	0,51885	-0,66261
3	0,7	0,90735	-1,1636
4	1,	1,2953	-1,668
5	1,2	1,2953	-1,668
6	1,4	1,2953	-1,668
7	1,7	1,2953	-1,668
8	2,	1,2953	-1,668

ANSYS

 $80^\circ, -30^\circ$

$$F = [100; -100; 0]$$



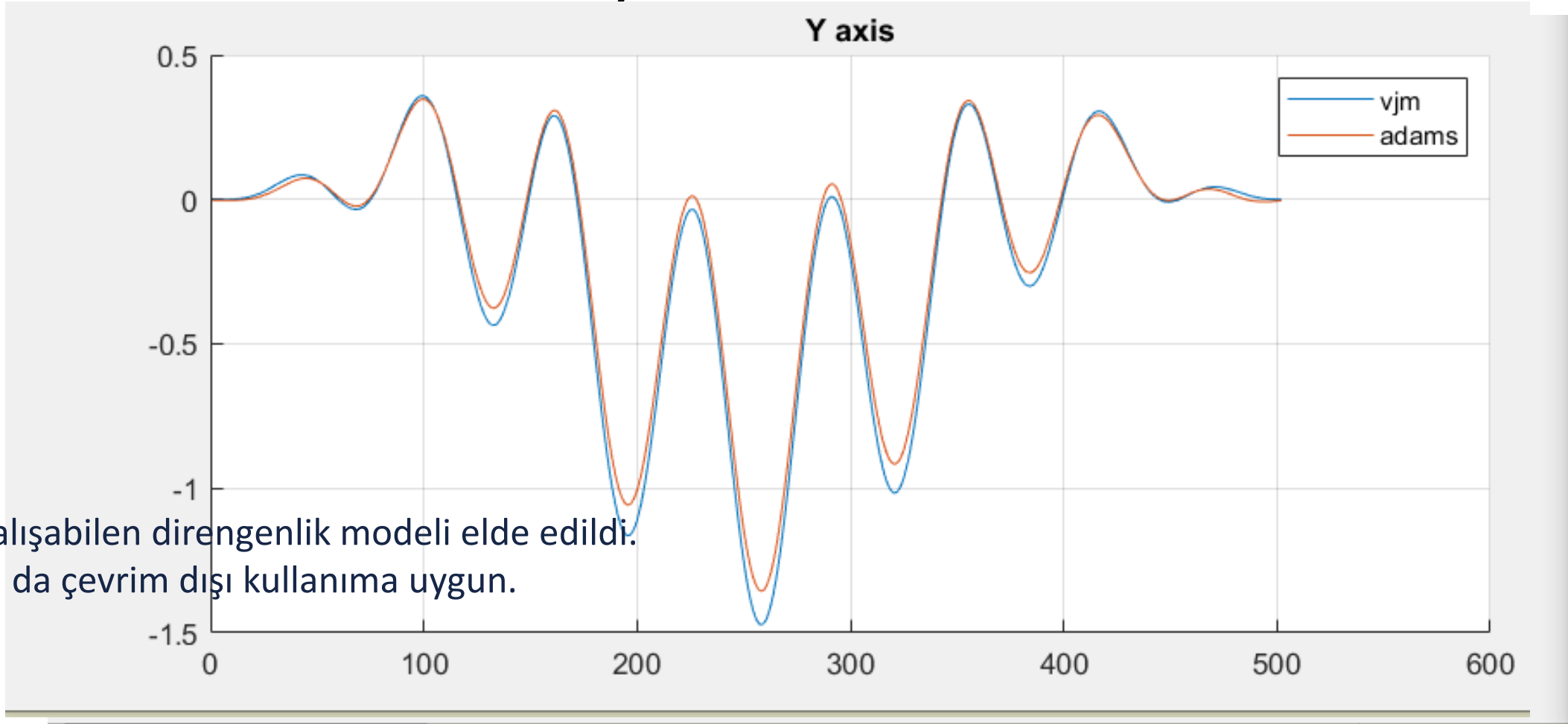
ans =

-1.6405

-1.2900

SMY'nin Fazla Kısıtlı Düzlemsel Bir Paralel Mekanizmaya Uygulanması

Dinamik yükler altında esneme.



1. 10 kHz'de çalışabilen direngenlik modeli elde edildi.
2. Çevrimiçi ya da çevrim dışı kullanıma uygun.

SMY'nin Fazla Kısıtlı Düzlemsel Bir Paralel Mekanizmaya Uygulanması

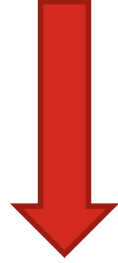
Direngenliğin deneysel belirlenmesi.

1

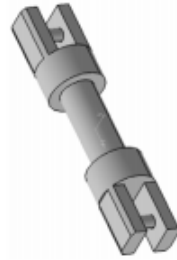
$$\bar{F}_K = \mathbf{K}_\theta \Delta \bar{\theta}$$



$$k_{Foot} = \begin{bmatrix} 2.77 \cdot 10^{-4} & -3.28 \cdot 10^{-4} & 0 & 0 & 0 & -4.03 \cdot 10^{-6} \\ -3.28 \cdot 10^{-4} & 4.14 \cdot 10^{-4} & 0 & 0 & 0 & 5.41 \cdot 10^{-6} \\ 0 & 0 & 1.94 \cdot 10^{-3} & 1.12 \cdot 10^{-5} & -1.49 \cdot 10^{-5} & 0 \\ 0 & 0 & 1.12 \cdot 10^{-5} & 2.29 \cdot 10^{-7} & 0 & 0 \\ 0 & 0 & -1.49 \cdot 10^{-5} & 0 & 2.30 \cdot 10^{-7} & 0 \\ -4.03 \cdot 10^{-6} & 5.41 \cdot 10^{-6} & 0 & 0 & 0 & 8.42 \cdot 10^{-8} \end{bmatrix}$$



$$(\mathbf{J}_\theta^{-T} \mathbf{K}_\theta \mathbf{J}_\theta^{-1})$$



$$k_{Axis} = \begin{bmatrix} 6.23 \cdot 10^{-6} & 0 & 0 & 0 & 0 & 0 \\ 0 & 2.83 \cdot 10^{-5} & 0 & 0 & 0 & 1.40 \cdot 10^{-7} \\ 0 & 0 & 2.59 \cdot 10^{-5} & 0 & -9.65 \cdot 10^{-7} & 0 \\ 0 & 0 & 0 & 2.77 \cdot 10^{-7} & 0 & 0 \\ 0 & 0 & -9.65 \cdot 10^{-7} & 0 & 4.84 \cdot 10^{-7} & 0 \\ 0 & 1.40 \cdot 10^{-7} & 0 & 0 & 0 & 1.20 \cdot 10^{-7} \end{bmatrix}$$

Uzva yük uygulanır.
Esneme ölçülür.



$$k_{Bar} = \begin{bmatrix} 4.55 \cdot 10^{-5} & 0 & 0 & 0 & 0 & 0 \\ 0 & 2.33 \cdot 10^{-1} & 0 & 0 & 0 & 1.13 \cdot 10^{-4} \\ 0 & 0 & 5.08 \cdot 10^{-2} & 0 & -2.39 \cdot 10^{-4} & 0 \\ 0 & 0 & 0 & 2.88 \cdot 10^{-5} & 0 & 0 \\ 0 & 0 & -2.39 \cdot 10^{-4} & 0 & 1.50 \cdot 10^{-6} & 0 \\ 0 & 1.13 \cdot 10^{-3} & 0 & 0 & 0 & 7.19 \cdot 10^{-6} \end{bmatrix}$$

Klimchik, A. (2011). *Enhanced stiffness modeling of serial and parallel manipulators for robotic-based processing of high performance materials* (Doctoral dissertation).

SMY'nin Fazla Kısıtlı Düzlemsel Bir Paralel Mekanizmaya Uygulanması

Direngenliğin deneysel belirlenmesi.

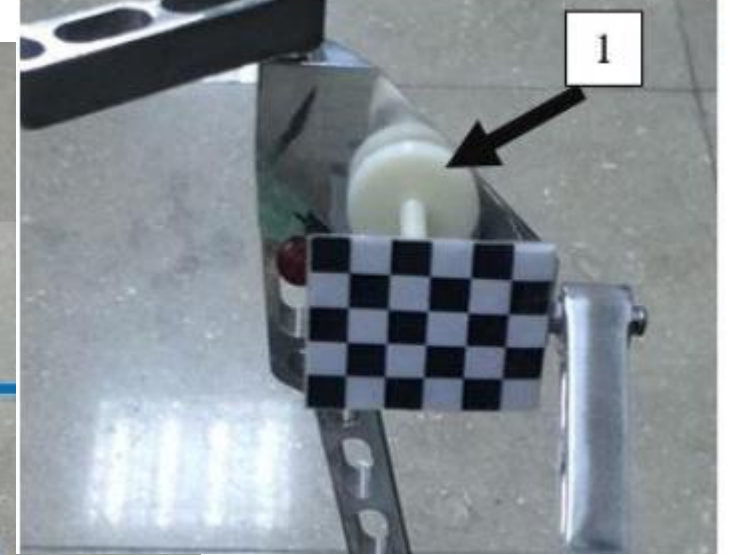
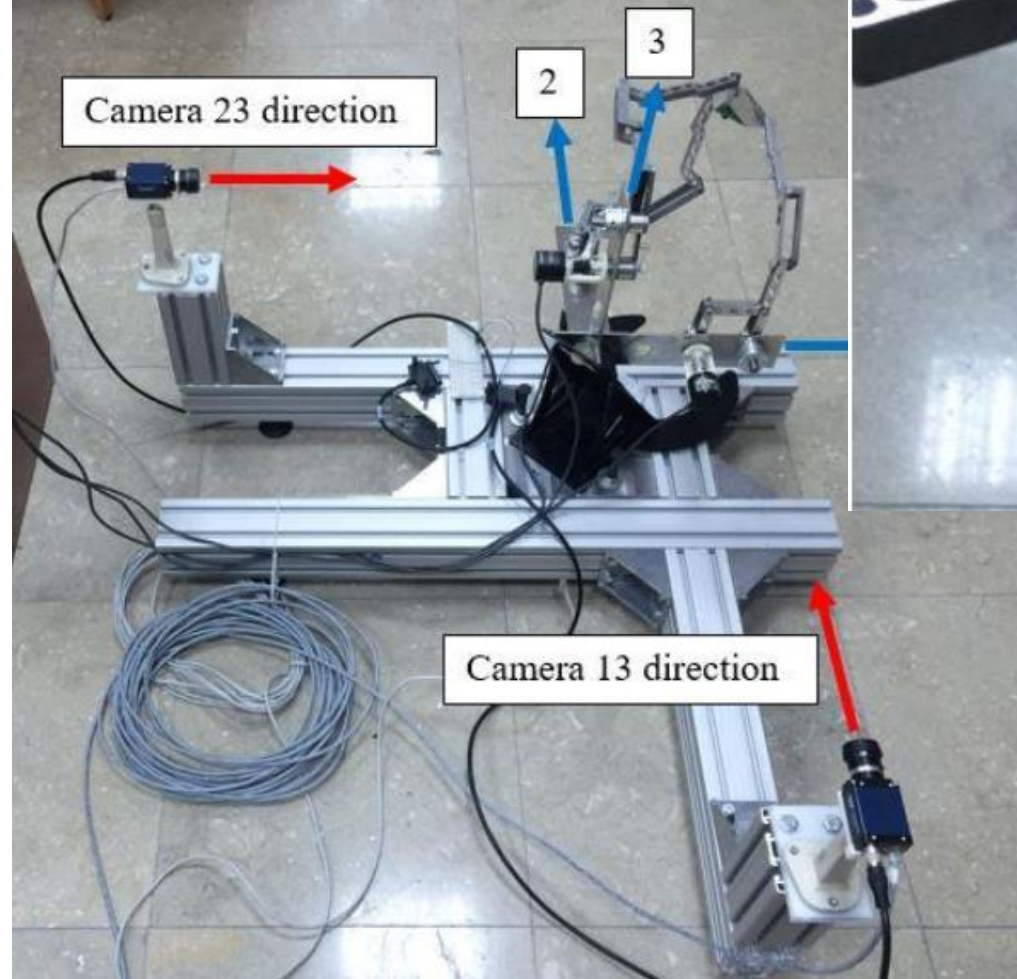
2

$$\bar{F}_{ext} = K_C \Delta \bar{X}$$

$$(J_{\theta}^{-T} K_{\theta} J_{\theta}^{-1})$$

Manipülatöre yük uygulanır. Uç eyleyici esnemesi ölçülür. Uzun direngenliği hesaplanır.

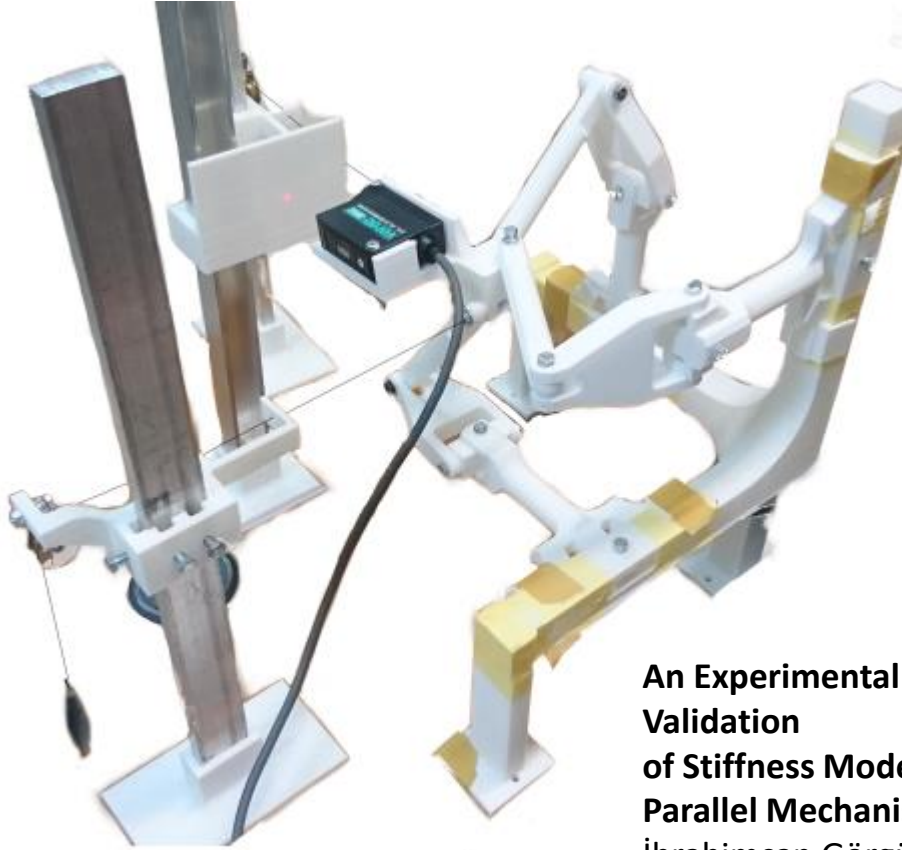
Görüntü işleme yöntemi



Taner, B., Dede, M.I.C.: Image processing based stiffness mapping of a haptic device. In: New Advances in Mechanisms, Mechanical Transmissions and Robotics, pp. 447{454. Springer (2017)

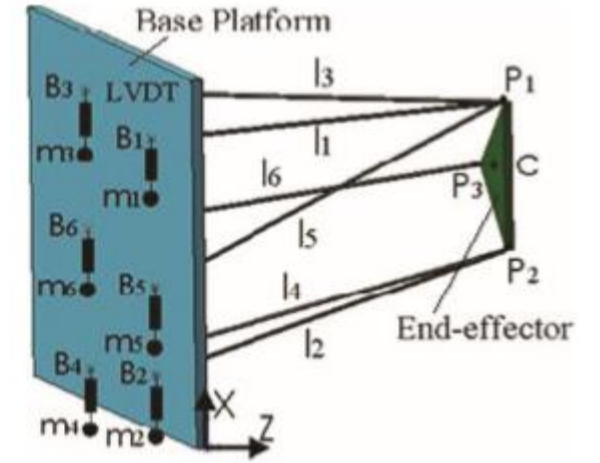
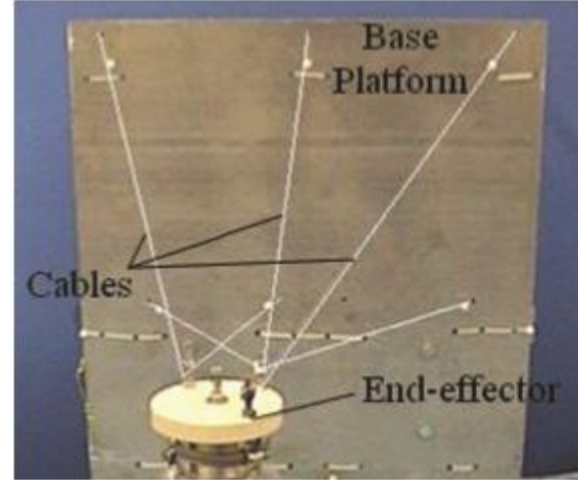
SMY'nin Fazla Kısıtlı Düzlemsel Bir Paralel Mekanizmaya Uygulanması

Lazer mesafe sensörü



An Experimental Test Procedure for Validation of Stiffness Model: A Case Study for R-CUBE Parallel Mechanism
İbrahimcan Görgülü, M. I. Can Dede, and Giuseppe Carbone

LVDT sensör



Hernandez-Martinez, E., Carbone, G., & Lopez-Cajun, C. (2009). Operation Features of Milli-CaTraSys. In Proceedings of EUCOMES 08 (pp. 191-199). Springer, Dordrecht.

SMY'nin Fazla Kısıtlı Düzlemsel Bir Paralel Mekanizmaya Uygulanması

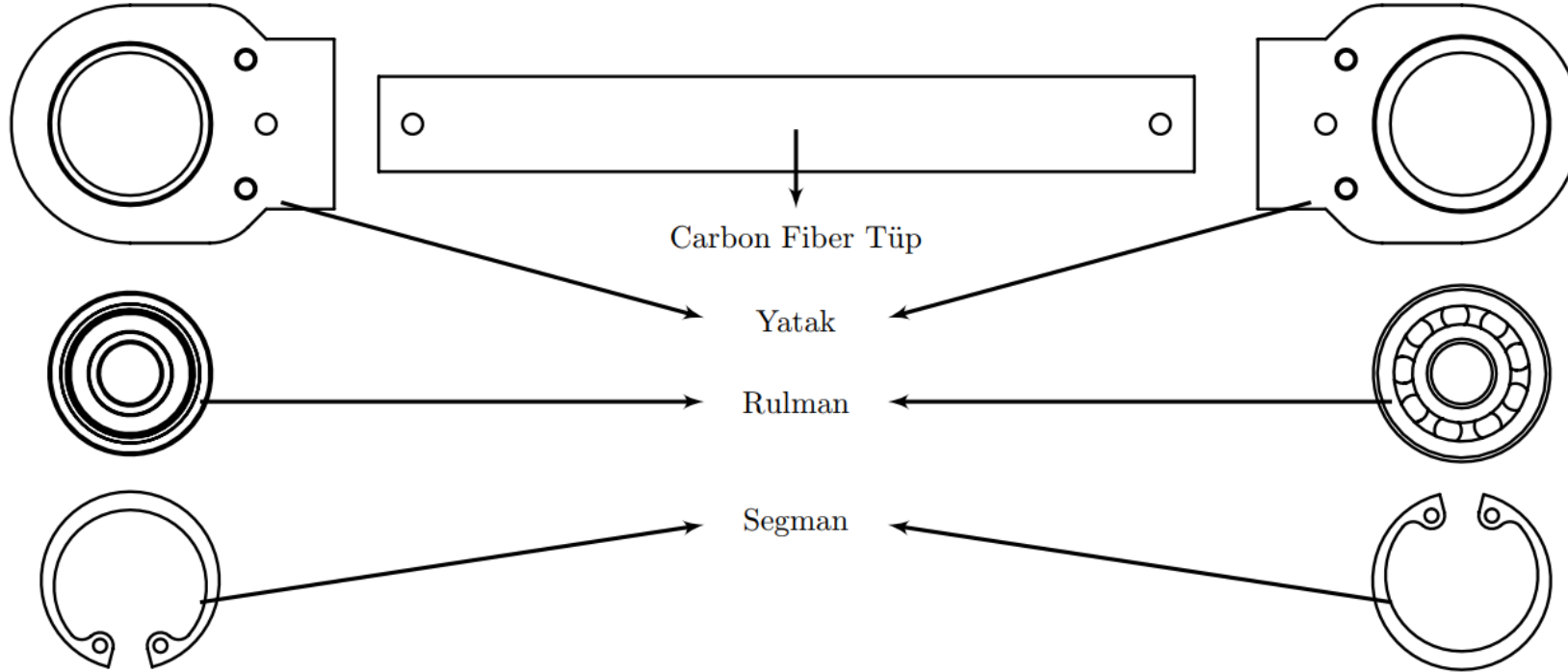
CMM



Slavkovi'c, N.R., Milutinovi'c, D.S., Kokotovi'c, B.M., Glavonji'c, M.M., Zivanovi'c, S.T., Ehmann, K.F.: Cartesian compliance identification and analysis of an articulated machining robot. FME Transactions **41**(2), 83{95 (2013)

Bonus

Mafsal direngenliđinin dahil edilmesi.



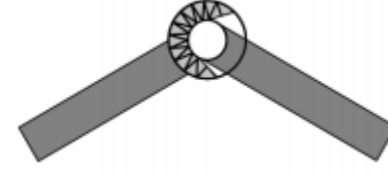
Bonus



Tamamen pasif.

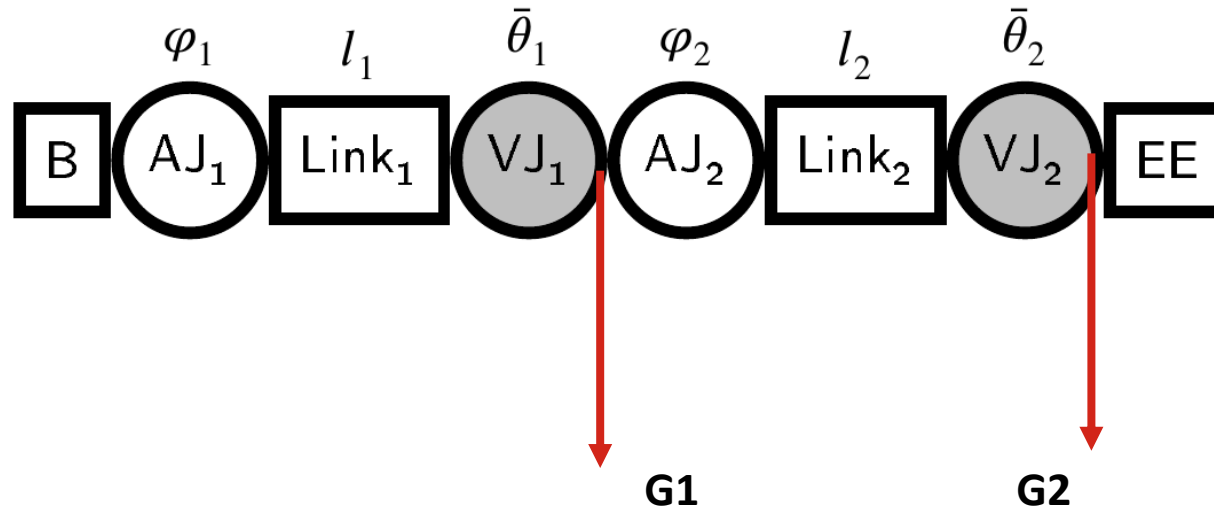


Yay



Lineer olmayan yay.

**Statik-Dinamik
sürtünmeler. (Kuvvet
değişimi)**



$$\mathbf{J}_{\theta}^T \bar{\mathbf{F}}_{ext} + \mathbf{J}_1^T \bar{\mathbf{G}}_1 + \mathbf{J}_2^T \bar{\mathbf{G}}_2 = \mathbf{K}_{\theta} \mathbf{J}_{\theta}^{-1} \Delta \bar{\mathbf{X}}$$

$$\mathbf{J}_{\theta} \mathbf{K}_{\theta}^{-1} [\mathbf{J}_{\theta}^T \mathbf{J}_1^T \mathbf{J}_2^T] [\bar{\mathbf{F}}_{ext}^T \bar{\mathbf{G}}_1^T \bar{\mathbf{G}}_2^T]^T = \Delta \bar{\mathbf{X}}$$

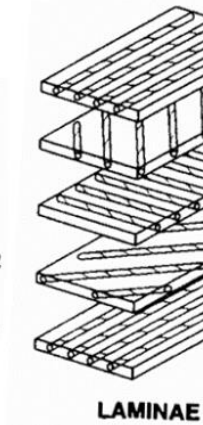
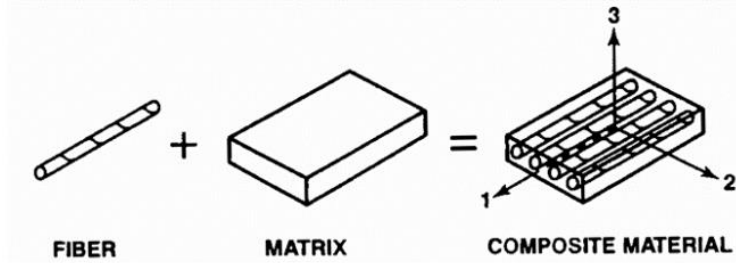
Bonus

Montaj sonrası iç gerilmeler

$$\mathbf{K}_{\theta_2} \mathbf{J}_{\theta_2}^{-1} \Delta \bar{\mathbf{X}}_2 = \mathbf{K}_{\theta_1} \mathbf{J}_{\theta_1}^{-1} \Delta \bar{\mathbf{X}}_1$$

$$\bar{\mathbf{F}}_1 = \bar{\mathbf{F}}_2$$

$$\mathbf{J}_{\theta_1}^T \bar{\mathbf{F}}_1 = \mathbf{J}_{\theta_2}^T \bar{\mathbf{F}}_2$$


 $\hat{\mathbf{K}}_{\theta_k} =$

$$\begin{bmatrix} \frac{E_{xk} A_k}{L_k} & 0 & 0 & 0 & 0 & 0 \\ 0 & \frac{12E_{yk} I_{zk}}{L_k^3} & 0 & 0 & 0 & \frac{-6E_{zk} I_{zk}}{L_k^2} \\ 0 & 0 & \frac{12E_{zk} I_{yk}}{L_k^3} & 0 & \frac{6E_{yk} I_{yk}}{L_k^2} & 0 \\ 0 & 0 & 0 & \frac{G_{xyk} J_k}{L_k} & 0 & 0 \\ 0 & 0 & \frac{6E_{yk} I_{yk}}{L_k^2} & 0 & \frac{4E_{yk} I_{yk}}{L_k} & 0 \\ 0 & \frac{-6E_{zk} I_{zk}}{L_k^2} & 0 & 0 & 0 & \frac{4E_{zk} I_{zk}}{L_k} \end{bmatrix}$$

İlginiz için teşekkürler...

Sorular?

